

KLASSISCHE THEORIE DER PDEI (PDE_I)

11.4.16

Kap 1) EINFÜHRUNG

allgemeine Form von PDE_I: $F(y, u(y), \nabla u(y), D^2 u(y), \dots) = 0 \quad (1)$
 $y \in U \subset \mathbb{R}^m, m \in \mathbb{N} := \{1, 2, \dots\}$

- y = unabh. Variablen (z.B. Raum und Zeit, z.B. $y = (t, \underbrace{x_1, \dots, x_m}_{\text{Raum}})$)
- $u: \mathbb{R}^m \rightarrow \mathbb{R}^N$ abhäng. Variablen (die Unbekannten), $N \in \mathbb{N}$
- F gegebene Fkt

(1) wird oft ergänzt durch Anfangsbedingungen (in $t=0$)

und/oder Randbedingungen (in $x \in \partial \Omega, \Omega \subset \mathbb{R}^n, n \leq m$)

Spezialfälle von (1):

- skalare PDEs : $N = 1$
- lineare PDEs : F linear in allen Variablen $u, \nabla u, \dots$
- erster Ordnung : $F(y, u(y), \nabla u(y)) = 0$
- gewöhnliche DGL (ODE) : $m = 1$

Anwendungen: Physik, Chemie, Biologie, Ökologie, Finanz, Geometrie, ...

Bsp.

Chemie - Reaktionen mit Diffusion

Bio - Diffusion in einer Zelle, Transport el. Signals in Nerven

Ökol. - Populationsentwicklung, Epidemie - Ausbreitung

Finanz. - Wert eines Derivats (Black-Scholes)

Geom. - Minimalflächen (z.B. Seifenschaum)

In dieser Vorlesung hauptsächlich:

$$\rightarrow \text{allgemeine } -\nabla \cdot (a(x) \nabla u) = f(x)$$

(2) Poisson-Gl.: $-\Delta u = f(x) \quad (\text{falls } f=0, \text{ dann Laplace-Gl.})$

(3) Wärmeleitungsgl.: $\partial_t u - \Delta u = f(x, t) \quad (\text{allgen. } \partial_t u - \lambda \Delta u = f)$

(4) Wellengl.: $\partial_t^2 u - \Delta u = f(x, t)$

- Erhaltungssatz: $\partial_t u + \partial_x (f u) = 0$

} nicht-linear falls $f \neq 0$

Bem: (2), (3)(4) sind Beispiele von drei großen PDE-Klassen

(2) ist elliptisch, da $\sum_{j=1}^n \partial_{x_j}^2 u = f$
 $\sum_{j=1}^n \xi_j^2 = 1$ beschreibt ein Ellipsoid
 $(n=2 \Rightarrow \text{Ellipse})$

(3) ist parabolisch, da $\partial_t^2 u - \sum_{j=1}^n \partial_{x_j}^2 u = f$
 $\tau^2 - \sum_{j=1}^n \xi_j^2 = 1$ ist ein Paraboloid
 $(n=1 \Rightarrow \text{Parabel})$

(4) ist hyperbolisch, da $\partial_t^2 u - \sum_{j=1}^n \partial_{x_j}^2 u = f$
 $\tau^2 - \sum_{j=1}^n \xi_j^2 = 1$ ist ein Hyperboloid
 $(n=1 \Rightarrow \text{Hyperbel})$

Sekt 1.5

Notation: • Für $u: \mathbb{R}^n \rightarrow \mathbb{R}$ ist $\nabla u := \begin{pmatrix} \partial_{x_1} u \\ \vdots \\ \partial_{x_n} u \end{pmatrix}$ (Gradient)

$$D^2 u := \left(\partial_{x_i} \partial_{x_j} u \right)_{(i,j) \in \{1, \dots, n\}^2} \in \mathbb{R}^{n \times n} \text{ (die Heszeche)}$$

$$\Delta u := \sum_{j=1}^n \partial_{x_j}^2 u \quad (\text{Laplace-Op.})$$

• Für $u: \mathbb{R}^n \rightarrow \mathbb{R}^n$ ist $\nabla \cdot u = \sum_{j=1}^n \partial_{x_j} u_j$ (Divergenz)

• Für $u: \mathbb{R}^{n+1} \rightarrow \mathbb{R}$ ist $D_x u := \begin{pmatrix} \partial_{x_1} u \\ \vdots \\ \partial_{x_n} u \end{pmatrix}$ (oft nur Du)

• Für $u: \mathbb{R}^3 \rightarrow \mathbb{R}^3$ ist $\text{rot } u = \nabla \times u = \begin{pmatrix} \partial_{x_2} u_3 - \partial_{x_3} u_2 \\ \partial_{x_3} u_1 - \partial_{x_1} u_3 \\ \partial_{x_1} u_2 - \partial_{x_2} u_1 \end{pmatrix}$

mehr komplizierte PDE-Bspiele:

• Maxwell-Glen

$$(5) \quad \begin{cases} \nabla \times E = -\partial_t B \\ \nabla \times B = \partial_t D \\ D = E + 4\pi \rho \end{cases}, \quad \nabla \cdot D = \sigma, \quad \nabla \cdot B = 0$$

$(E, B, D, \rho, \sigma: \mathbb{R}^3 \rightarrow \mathbb{R}^3, \sigma: \mathbb{R}^3 \rightarrow \mathbb{R})$

E = elekt. Feld, B = magn. Flussdichte, D = d. Flussdichte, ρ = Polarisat. ron

$\rho = \rho(E, x)$, d.h. ρ hängt von E und x ab, σ = Ladungsdichte

• Navier-Stokes-Glen (Strömung eines Fluides)

$$(6) \quad \begin{cases} \partial_t v_i + \sum_{j=1}^3 v_j \partial_{x_j} v_i - \Delta_x v_i = -\partial_{x_i} p \\ \nabla \cdot v = 0 \end{cases}, \quad i=1,2,3$$

$$(7) \quad v(x, 0) = v_0(x) \quad (\text{AB})$$

wobei $v: \mathbb{R}^3 \times [0, \infty) \rightarrow \mathbb{R}^3$ (Geschwindigkeit)

$$\begin{cases} (x, t) \mapsto v(x, t) \end{cases}$$

$$p: \mathbb{R}^3 \times [0, \infty) \rightarrow \mathbb{R} \quad (\text{Druck})$$

(5) & (6): System von PDEs

17.10 # Problem

Beweis oder Gegenbeispiel für

$v_0 \in C_c^\infty(\mathbb{R}^3)$, $\nabla \cdot v_0 = 0 \Rightarrow$ die Lösung von (6) & (7) erfüllt

$$\text{V.i.P.} \in C^\infty(\mathbb{R}^n \times (0, \infty)), \int_{\mathbb{R}^3} |V(x,t)|^2 dx < c \\ V+ \geq 0$$

Ausblick: Kapitel 2) Laplace & Poisson Gl.

3) Wärmeleitungsgl.

4) Wellengl.

5) Erhaltungsgleichungen

Themen:

- explizite Lösungsdarstellung = Eigenfunktion-Methode (Trennung der Variablen)

2) - 4)

- Fundamentalslösung, Grenzsch. Pkt.: 2) - 4)

- Methode der Charakteristiken: 5)

• Kehlgestelltheit (eindeutige Existenz einer Lsg und stetige Abhängigkeit von Daten)

• Lösungseigenschaften:

- Maximumsprinzip: 1) & 2)

- Regularität

Literatur:

• L.C. Evans, PDE

} nur "klassischer Teil" (keine schwache

• B. Schweizer, PDG
(online)

} Ableitungen, schwache Lsgen, Absolutstetigkeit usw.)

• Ch. Meyer, PDE, klassische Methoden, Skript, 2011 (online)

• B. Schweizer, Skalare Erhaltungsgl., Skript, 2015 (online)

"John"?

1.1 Herleitung der Laplace, Poisson und Wärmeleitungsgl.: Diffusionsprozess

Für $\Omega \subset \mathbb{R}^n$ sei

$$u: \Omega \times [0, \infty) \rightarrow \mathbb{R} \quad \text{konzentration eines Stoffes}$$

$\left[\frac{\text{mol}}{\text{m}^3} \right]$

$$j: \Omega \times [0, \infty) \rightarrow \mathbb{R}^n \quad \text{Stofffluss pro Fläche und Zeit (Teilchenstromdichte)}$$

$\left[\frac{\text{mol}}{\text{m}^2 \cdot \text{s}} \right]$

$$f: \Omega \times [0, \infty) \rightarrow \mathbb{R} \quad \text{Stoffstruktur pro Volumen und Zeit}$$

$\left[\frac{\text{mol}}{\text{m}^3 \cdot \text{s}} \right]$

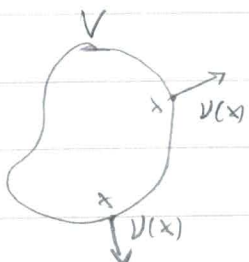
Bsp: Farbe im Wasser (ohne Strömung)

1) Bilanzgleichung: Sei $V \subset \Omega$ offen, beschr. mit ∂V glatt (C^1)

(V heißt „Testvolumen“)

$$\frac{d}{dt} \underbrace{\int_V u(x,t) dx}_{\text{Änderungsrate der Stoffmenge in } V} = \underbrace{\int_V f(x,t) dx}_{\text{Zuflussrate}} - \underbrace{\int_{\partial V} j(x,t) \cdot n(x) dS}_{\text{Abflussrate}} \quad \text{für } t \in (0, \infty)$$

z.B. (n22)



$$\text{Satz von Gauß} \Rightarrow \int_V \partial_t u(x,t) - f(x,t) + \nabla_x \cdot j(x,t) dx = 0, \quad t \in (0, \infty)$$

$$V \text{ beliebig} \Rightarrow \partial_t u(x,t) - f(x,t) + \nabla \cdot j(x,t) = 0 \quad \text{für fast alle } x \in \Omega$$

(bei Stetigkeit für alle $x \in \Omega$)

Also

$$\boxed{\partial_t u + \nabla \cdot j = f} \quad \text{für } (x,t) \in \Omega \times (0, \infty)$$

2) kontinuierliche Bezeichnung: $j = -g(x) \nabla u$ mit dem Diff.-koeff. $g > 0$ (Ficksche Gesetz)

d.h. Flussrate proportional zur Gradienten der Konzentration

Dann $\partial_t u - \nabla \cdot (\alpha \nabla u) = f$ (8) (Diffusionsgl.)

Bem: in homogenen Medien ist $\alpha = \text{konst.}$ und $\nabla \cdot (\alpha \nabla u) = \alpha \nabla \cdot \nabla u = \alpha \Delta u$

(8) als Wärmeleitungsgl.:

$$T = \text{Temperatur} \quad [K]$$

$$q = \text{Wärme flussdichte} \quad \left[\frac{J}{m^2 s} = \frac{W}{m^2} \right]$$

$$f = \text{Wärmeleiter} \quad \left[\frac{J}{m^3 s} = \frac{W}{m^3} \right]$$

Fouier-Gesetz:

$$q = -k(x) \nabla T \quad \text{mit Wärmeleitfähigkeit } k(x) > 0$$

$$\Rightarrow \partial_t T - \nabla \cdot (k \nabla T) = f \quad (\text{Wärmeleitungsgl.})$$

Zeit-unabh. Lsgen von (8) für $f = f(x)$ (d.h. f unabh. von t)

- stationäre Verteilung der Dichte / der Temperatur

↪ $u(x)$ erfüllt

$$(9) \quad -\nabla \cdot (\alpha \nabla u) = f \quad (\text{Poissongl.})$$

Physikalisch relevante RB für (8), (9)

Sei (8) bzw (9) definiert für $x \in \Omega \subset \mathbb{R}^n$ offen, beschr.

a) Dirichlet RB

$$u(x) = g(x), \quad x \in \partial\Omega$$

z.B. fest Temperatur / Konzentration am Rand

b) Neumann RB

$$\frac{\partial u}{\partial \nu}(x) = 0, \quad x \in \partial\Omega \quad (\text{Normale ableitung Null})$$

z.B. kein Wärme fluss durch $\partial\Omega$ (perfekte Isolation) ($\frac{\partial u}{\partial \nu} = \nabla \cdot \nabla u$)

• kein Stoff fluss — n — (Behälter-Wand)

c) Robin RB

$$\frac{\partial u}{\partial \nu}(x) + \alpha u(x) = 0, \quad x \in \partial \Omega \quad (\alpha > 0)$$

- Wärmefluss durch $\partial \Omega$ proportional zur Temperatur (realistische Beschreibung für kleine Temperaturen)

1.2 Fourier-Reihe (kurze Darstellung)

Df.: Sei $L > 0$ und $f \in L^1([0, L], \mathbb{R})$, d.h. $\int_0^L |f(x)| dx < \infty$.

- Die Reihe

$$s(x) = \frac{a_0}{2} + \sum_{k \in \mathbb{N}} a_k \cos\left(k \frac{2\pi}{L} x\right) + b_k \sin\left(k \frac{2\pi}{L} x\right) \quad (10)$$

$$\begin{aligned} \text{mit } a_k &= \frac{2}{L} \int_0^L f(x) \cos\left(k \frac{2\pi}{L} x\right) dx, \quad k \in \mathbb{N}_0 \\ b_k &= \frac{2}{L} \int_0^L f(x) \sin\left(k \frac{2\pi}{L} x\right) dx, \quad k \in \mathbb{N} \end{aligned} \quad \} \quad (11)$$

heißt eine Fourier-Reihe (Fourier-Entwicklung) von f .

Bem: 1) a_k, b_k sind wohl definiert, da $\int_0^L |f(x)| |\varphi(k \frac{2\pi}{L} x)| dx < \int_0^L |f(x)| dx < \infty$
mit $\varphi(y) = \sin(y)$ und $\cos(y)$.

2) Motivation zur Wahl von a_k, b_k :

Falls $f(x) = s(x)$, dann multipliziere $f = s$ mit $\cos(k \frac{2\pi}{L} x)$ oder
 $\sin(k \frac{2\pi}{L} x)$ und integriere \int_0^L :

$$\text{Weil } \int_0^L c_a(k \frac{2\pi}{L} x) c_s(j \frac{2\pi}{L} x) dx = \begin{cases} \frac{L}{2} \delta_{jk}, & (j, k) \neq (0, 0) \\ L, & (j, k) = (0, 0) \end{cases} \quad (12)$$

$$\int_0^L \sin(k \frac{2\pi}{L} x) \sin(j \frac{2\pi}{L} x) dx = \begin{cases} \frac{L}{2} \delta_{jk}, & \forall j, k \in \mathbb{N} \\ 0, & j = 0 \vee k = 0 \end{cases} \quad (13)$$

$$\int_0^L \sin(k \frac{2\pi}{L} x) \cos(j \frac{2\pi}{L} x) dx = 0 \quad \forall j, k \in \mathbb{N}_0, \quad (14)$$

erhält (11).

Sei $s_n(x) := \frac{a_0}{2} + \sum_{k=1}^n a_k \cos(k \frac{2\pi}{L} x) + b_k \sin(k \frac{2\pi}{L} x)$.

Satz 1.1 (i) Sei $f \in L^2([0, L], \mathbb{R})$. Dann

$$\|f - s_n\|_{L^2([0, L])} \rightarrow 0 \quad \text{für } n \rightarrow \infty$$

(ii) Sei $f \in C([0, L], \mathbb{R})$ L-periodisch und stückweise stetig diffbar (C^1).

Dann konvergiert s_n absolut und gleichmäßig gegen f auf \mathbb{R} , also

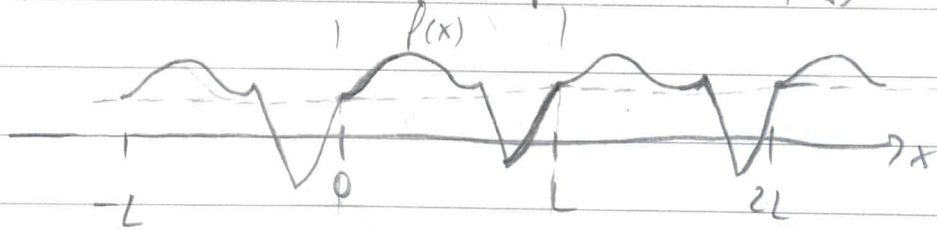
$$\forall \varepsilon > 0 \exists N \in \mathbb{N}: \sup_{x \in \mathbb{R}} |f(x) - s_n(x)| < \varepsilon \quad \forall n \geq N.$$

Bew: [Forster, Analysis I, §23].

Bem: $\{\cos(k \frac{2\pi}{L} x), k \in \mathbb{N}_0\} \cup \{\sin(k \frac{2\pi}{L} x), k \in \mathbb{N}\}$ ist eine (wegen (12)-(14)) orthog. Basis des unendlich dim. Raumes $L^2([0, L], \mathbb{R})$.

Korollar 1.2 Sei $f \in C([0, L], \mathbb{R})$ stückweise C^1 mit $f(0) = f(L)$.
Dann $s_n \xrightarrow{\text{gleichm.}} f$ auf $[0, L]$.

Bew: f kann fortgesetzt werden zur L-period. Fkt $\tilde{f} \in C(\mathbb{R}, \mathbb{R})$, die stückweise C^1 ist. ($f(x) = \tilde{f}(x) \quad \forall x \in [0, L]$)

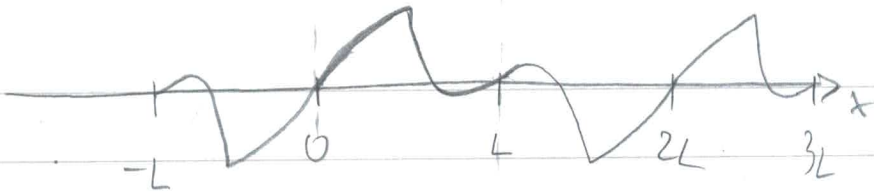


Korollar 1.3 Sei $f \in C([0, L], \mathbb{R})$ stückweise C^1 und $f(0) = f(L) = 0$.

Dann konvergiert $\sum_{k \in \mathbb{N}} b_k \sin(k \frac{\pi}{L} x)$, $b_k := \frac{2}{L} \int_0^L f(x) \sin(k \frac{\pi}{L} x) dx$

absolut und gleichmäßig gegen f auf $[0, L]$.

Bew: f kann fortgesetzt werden zu einer geraden stetigen C^1 und $2L$ -period. Fkt \tilde{f}



- \tilde{f} ist $2L$ -period. \Rightarrow Fourier-Reihe mit L ersetzt durch $2L$ anwendbar
- \tilde{f} ungerade ($\tilde{f}(-x) = -\tilde{f}(x) \forall x$) \Rightarrow kein cos-Terme in der Reihe

$$\bullet b_k = \frac{2}{2L} \int_{-L}^L \underbrace{\tilde{f}(x) \sin(k \frac{\pi}{L} x)}_{\text{gerade}} dx = \frac{2}{L} \int_0^L \tilde{f}(x) \sin(k \frac{\pi}{L} x) dx \quad (a_k = 0 \quad \forall k \in \mathbb{N}_0)$$

da beide f & \sin ungerade

Korollar 1.6: Sei $f \in C([0, L], \mathbb{R})$ stückweise C^1 . Dann konvergiert $\frac{a_0}{2} + \sum_{k \in \mathbb{N}} a_k \cos(k \frac{\pi}{L} x)$ gleichm. und absolut gegen f , wobei $a_k = \frac{2}{L} \int_0^L f(x) \cos(k \frac{\pi}{L} x) dx$.

Bew: Übung.

Mehr-dimensional Fourier-Reihen

2D: analoges Resultat zu S.1 für $f: [0, L_1] \times [0, L_2] \rightarrow \mathbb{R}$ mit $L_1, L_2 > 0$

und mit den Fourier-Basis

$$\begin{aligned} & \left\{ \sin\left(\frac{k_1 \pi}{L_1} x_1\right) \sin\left(\frac{k_2 \pi}{L_2} x_2\right), k_1, k_2 \in \mathbb{N} \right\} \\ & \cup \left\{ \sin\left(\frac{k_1 \pi}{L_1} x_1\right) \cos\left(\frac{k_2 \pi}{L_2} x_2\right), k_1 \in \mathbb{N}, k_2 \in \mathbb{N}_0 \right\} \\ & \cup \left\{ \cos\left(\quad\right) \sin\left(\quad\right), k_1 \in \mathbb{N}_0, k_2 \in \mathbb{N} \right\} \\ & \cup \left\{ \cos\left(\quad\right) \cos\left(\quad\right), k_1, k_2 \in \mathbb{N}_0 \right\} \end{aligned}$$

(ähnlich für höhere Dimensionen)

Z.B. (n=2): Falls $f \in C^1\left(\bigcap_{j=1}^2 (0, L_j), \mathbb{R}\right)$ und $f(x) = 0 \quad \forall x \in \partial\left(\bigcap_{j=1}^2 (0, L_j)\right)$, dann konv.

$$\sum_{k_1, k_2 \in \mathbb{N}} b_{k_1, k_2} \sin\left(k_1 \frac{\pi}{L_1} x_1\right) \sin\left(k_2 \frac{\pi}{L_2} x_2\right)$$

gleichm. gegen f auf $[0, L_1] \times [0, L_2]$, wobei

$$b_{k_1, k_2} = \frac{4}{L_1 L_2} \int_0^{L_1} \int_0^{L_2} f(x) \sin\left(k_1 \frac{\pi}{L_1} x_1\right) \sin\left(k_2 \frac{\pi}{L_2} x_2\right) dx_1 dx_2.$$

[Variato, Linear PDEs and Fourier Theory]

Kapitel 2: Poisson-Gleichung (§ Laplace gl.)

2.1. Separation der Variablen; Eigenfunktion-Entwicklung

- Lösung in der Form einer Entwicklung in Eigenfunktionen des Problems (typischerweise: Fourier - Reihe)
- liefert elegante Darstellung für einfache Gebiete (Quader, Ball, ... in \mathbb{R}^n , $n \geq 1$)
- anwendbar auch für andere Gln (Wärmeleitung, Wellengl., ...)

Betrachte $\Omega \subset \mathbb{R}^n$ offenes beschr. Gebiet (nicht leer, zusammenhängend)

$$\begin{aligned} -\Delta u(x) &= f(x), \quad x \in \Omega \\ u(x) &= h(x), \quad x \in \partial\Omega \end{aligned} \quad \} \quad (15)$$

Lösung - Schema:

I) Poisson-Gl. mit homogenem RB: $\stackrel{(h=0)}{\text{Eigenfunktion-Entwicklung}}$

1) Eigenwert - Problem

$$-\Delta w(x) = \lambda w(x), \quad x \in \Omega$$

$$w(x) = 0, \quad x \in \partial\Omega$$

\hookrightarrow Eigenpaare $(\lambda_k, w_k)_{k \in \mathbb{N}}$ (berechnet durch Separationsansatz wenn möglich)

2) Entwicklung von f in $(w_k)_{k \in \mathbb{N}}$

$$f(x) = \sum_{k \in \mathbb{N}} a_k w_k(x) \quad \text{mit } a_k \in \mathbb{R}$$

3) Entwicklung der Lsg. u_0 in $(w_k)_{k \in \mathbb{N}}$

$$u_0(x) = \sum_{k \in \mathbb{N}} c_k w_k(x)$$

• Berechnung von c_k :

$$-\Delta u_0 = -\Delta \left(\sum_{k \in \mathbb{N}} c_k w_k \right) \stackrel{\text{formal}}{=} \sum_{k \in \mathbb{N}} c_k (-\Delta w_k)$$

$$= \sum_{k \in \mathbb{N}} c_k \lambda_k w_k \stackrel{!}{=} f(x) = \sum_{k \in \mathbb{N}} a_k w_k$$

$$\Rightarrow c_k = a_k / \lambda_k$$

II) „Dirichlet-Problem“ für die Laplace Gl.: $-\Delta u_1(x) = 0, x \in \Omega$
 $u_1(x) = h(x), x \in \partial\Omega$

↳ Separation der Variablen (für spezielle Ω)

III) Volles Problem (15)

$$u(x) = u_0(x) + u_1(x), \text{ wobei } -\Delta u_1(x) = 0, x \in \Omega$$

$$u_1(x) = h(x), x \in \partial\Omega$$

$$\left(\begin{array}{l} \text{weil } -\Delta u = -\Delta(u_0 + u_1) = f + 0, x \in \Omega \\ u(x) = u_0(x) + u_1(x) = 0 + h(x), x \in \partial\Omega \end{array} \right)$$

Bem.: Für Neumann RB $\frac{\partial u}{\partial \nu}(x) = h(x), x \in \partial\Omega$ analog. z.B. E-W-Problem:

$$\begin{cases} -\Delta w = \lambda w, & x \in \Omega \\ \frac{\partial w}{\partial \nu} = 0, & x \in \partial\Omega \end{cases}$$

Bsp 2.1 (n=2, homogene Dirichlet-RB):

$$\begin{cases} -\Delta u(x) = f(x), & x \in \Omega := (0, L)^2 \\ u(x) = 0, & x \in \partial\Omega \end{cases} \quad (16)$$

1) Eigenwert-Problem

$$\begin{cases} -\Delta u = \lambda u, & x \in \Omega \\ u = 0, & x \in \partial\Omega \end{cases} \quad (17)$$

Separationsansatz: $u(x) = \varphi(x_1) \psi(x_2)$ mit $\varphi(0) = \varphi(L) = 0, \psi(0) = \psi(L) = 0$

$$\Rightarrow -\Delta u(x) = -\varphi''(x_1) \psi(x_2) - \varphi(x_1) \psi''(x_2) = \lambda \varphi(x_1) \psi(x_2)$$

$$-\frac{\varphi''}{\varphi}(x_1) - \frac{\psi''}{\psi}(x_2) = \lambda$$

$$-\frac{\varphi''}{\varphi}(x_1) - \lambda = \frac{\psi''}{\psi}(x_2)$$

• rechte Seite unabh. von $x_1 \Rightarrow$ linke Seite konstant ($= \mu \in \mathbb{R}$)

$$\begin{cases} -\frac{\varphi''}{\varphi}(x_1) = \lambda + \mu =: \nu^{(1)} \\ -\frac{\psi''}{\psi}(x_2) = -\mu =: \nu^{(2)} \end{cases} \Rightarrow \lambda = \nu^{(1)} + \nu^{(2)}$$

⇒ Zwei E-W-Probleme

$$-\varphi''(x_1) = \nu^{(1)} \varphi(x_1), x_1 \in (0, L)$$

$$\varphi(0) = \varphi(L) = 0$$

$$-\psi''(x_2) = \nu^{(2)} \psi(x_2), x_2 \in (0, L)$$

$$\psi(0) = \psi(L) = 0$$

\Rightarrow zu lösen ist das Sturm-Liouville Eigenwert Problem (ODE-RWp)

$$\left. \begin{array}{l} -\xi''(y) = \nu \xi(y), \quad y \in (0, L) \\ \xi(0) = \xi(L) = 0 \end{array} \right\} (18)$$

Charakter. Gleichung: $-r^2 = \nu \Rightarrow r = \pm \sqrt{-\nu}$

$$\Rightarrow \xi(y) = c_1 e^{\sqrt{-\nu} y} + c_2 e^{-\sqrt{-\nu} y}$$

- falls $\nu \leq 0$, dann $\xi(0) = c_1 + c_2 = 0$

$$\xi(L) = c_1 e^{\sqrt{-\nu} L} + c_2 e^{-\sqrt{-\nu} L} = 0$$

$$\Rightarrow c_1 = c_2 = 0 \quad (\text{nur triviale Lsg})$$

$\Rightarrow \nu > 0$ und $\xi(y) = c_1 \cos(\sqrt{\nu} y) + c_2 \sin(\sqrt{\nu} y)$

$$\xi(0) = c_1 = 0$$

$$\xi(L) = c_2 \sin(\sqrt{\nu} L) = 0 \Rightarrow \sqrt{\nu} L = n\pi, n \in \mathbb{Z}$$

$$\Rightarrow \nu = \nu_n := \frac{n^2 \pi^2}{L^2}, n \in \mathbb{N}$$

Eigenpaare von (18): $\left(\frac{n^2 \pi^2}{L^2}, \sin(n \frac{\pi}{L} y) \right)_{n \in \mathbb{N}}$

Eigenpaare von (17): $(\lambda_{n,m}) w_{n,m}(x)$

$$\text{wobei } \lambda_{n,m} = \frac{(n^2 + m^2)\pi^2}{L^2}, w_{n,m}(x) = \sin\left(\frac{n\pi}{L} x_1\right) \sin\left(\frac{m\pi}{L} x_2\right)$$

2) Entwicklung von f

$$f(x) = \sum_{n,m \in \mathbb{N}} a_{n,m} w_{n,m}(x)$$

$$a_{n,m} = \frac{4}{L^2} \int_0^L \int_0^L f(x_1, x_2) w_{n,m}(x) dx$$

\hookrightarrow 2-dm. Sm-Reihe

- konvergiert gleichmäßig z.B. falls $f(x) = 0 \forall x \in (0, L)^2$
 und $f \in C^1([0, L]^2, \mathbb{R})$

3) Lösung von (16)

$$u(x) = \sum_{n,m \in \mathbb{N}} c_{n,m} w_{n,m}(x)$$

$$\begin{aligned}
 -\Delta u &= \sum_{n,m \in \mathbb{N}} c_{n,m} (-\Delta w_{n,m}) = \sum_{n,m \in \mathbb{N}} c_{n,m} \lambda_{n,m} w_{n,m} \quad (19) \\
 &\stackrel{!}{=} f(x) = \sum_{n,m \in \mathbb{N}} a_{n,m} w_{n,m}
 \end{aligned}$$

$$\Rightarrow \text{Vektore} \quad c_{n,m} = \frac{a_{n,m}}{\lambda_{n,m}} = \frac{a_{n,m} L^2}{(m^2+n^2)\pi^2}$$

$$\text{Also formal} \quad u(x) = \sum_{n,m \in \mathbb{N}} \frac{a_{n,m} L^2}{(m^2+n^2)\pi^2} w_{n,m}(x) \quad (20)$$

Rechtfertigung

- Im welchen Sinne ist u eine Lsg von (16)?
- formalen Schritt (19) rigoros machen

Dif: $u: \bar{\Omega} \rightarrow \mathbb{R}$ heißt eine klassische Lsg von (16), falls
 $u \in C^2(\Omega, \mathbb{R}) \cap C(\bar{\Omega}, \mathbb{R})$ und $-\Delta u(x) = f(x) \quad \forall x \in \Omega,$
 $u(x) = 0 \quad \forall x \in \partial\Omega.$

Satz 2.4. Falls $f \in C^1((0,L)^2)$ und $f(x) = 0 \quad \forall x \in \partial(0,L)^2$, dann
ist (20) eine klass. Lsg von (16).

Bem: Eindeutigkeit von u wird später gezeigt

Bew: $\sum_{n,m \in \mathbb{N}} a_{n,m} w_{n,m}(x)$ konv. gleichm. gegen $f(x)$ und $\sum_{n,m \in \mathbb{N}} |a_{n,m}| < \infty$
(cf. § 1.2)

Weierstraß
Majorantenkrit.

\Rightarrow (20) konvergiert gleichm. und absolut

$$\text{Sei } S_{NM}(x) := \sum_{n=1}^N \sum_{m=1}^M \frac{a_{n,m} L^2}{(n^2+m^2)\pi^2} w_{n,m}(x)$$

i) $s_{NM} \in C(\bar{\Omega}) \Rightarrow u \in C(\bar{\Omega})$
 gleichm.
 konvergenz

ii) z.B. $u \in C^2(\bar{\Omega})$

$$(a) \partial_{x_1}^2 s_{NM}(x) = \sum_{n=1}^N \sum_{m=1}^M a_{n,m} \frac{n^2}{m^2+n^2} w_{n,m}(x)$$

$$(b) \partial_{x_2}^2 s_{NM}(x) = \sum \sum a_{n,m} \frac{m^2}{m^2+n^2} w_{n,m}(x)$$

$$(c) \partial_{x_1} \partial_{x_2} s_{NM}(x) = \sum \sum a_{n,m} \frac{nm}{m^2+n^2} w_{n,m}(x)$$

} alle
stetig

z.B. gleichm. Konvergenz

$$\sum_{n=1}^{\infty} \sum_{m=1}^{\infty} |a_{n,m} \frac{n^2}{m^2+n^2} w_{n,m}(x)| \leq \sum \sum |a_{n,m}| w_{n,m}(x)$$

$$\leq \sum_n \sum_m |a_{n,m}| < \infty$$

Weiterstrass

\Rightarrow gleichm. Konvergenz in (a) $\Rightarrow s(x) := \sum a_{n,m} \frac{n^2}{m^2+n^2} w_{n,m}(x)$
 ist stetig und $\partial_{x_1} u = s(x)$. (analog für $\partial_{x_2}^2 u, \partial_{x_1} \partial_{x_2} u$)

iii) Gleichung

$$\text{per Konstruktion: } -\Delta u = \sum_{n,m \in \mathbb{N}} a_{n,m} \underbrace{\frac{n^2+m^2}{m^2+n^2}}_{=1} w_{n,m} = f$$

$$u(x)=0 \quad \forall x \in \partial \Omega$$



Bsp 2.2: Dirichlet - Problem für die Laplace - GL. auf dem Rechteck (cf. II)

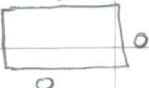
Betrachte

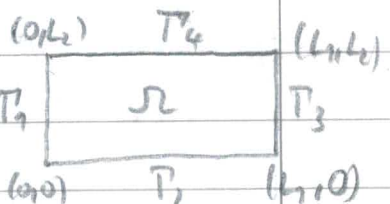
$$\begin{aligned} -\Delta u(x) &= 0, \quad x \in \Omega := (0, L_1) \times (0, L_2) \\ u(x_1 = h(x)), \quad x \in \partial \Omega & \end{aligned} \quad \left. \right\} \quad (21)$$

mit $h \in C(\partial \Omega, \mathbb{R})$ stückw. C!

Idee: Zerlege das Problem: $u = u_1 + \dots + u_4$

$$\begin{aligned} -\Delta u_j(x) &= 0, \quad x \in \Omega \\ u_j(x) &= \chi_{T_j}(x) h(x), \quad x \in \partial \Omega \end{aligned} \quad \left. \right\} \quad (22)$$

z.B.: RB für u_1 : $h(x)$ 



Problem: RB für die Teilprobleme ($j=1, \dots, 4$) nicht stetig, falls

$h(x) \neq 0$ für ein $x \in \{(0,0), (L_1,0), (L_1,L_2), (0,L_2)\} =: E$ (die Ecken)

↳ dann keine klassische Lsg u_j möglich

Ausweg: bilineare "Eckenfunktion" abziehen: $u_E(x) := a + b x_1 + c x_2 + d x_1 x_2$

$$\text{mit } u_E(x) = u(x) \quad \forall x \in E \quad (*)$$

(*) ist ein System von 4 lin. Gl.-en für a, b, c, d

$\Rightarrow a, b, c, d$ eindeutig bestimmt

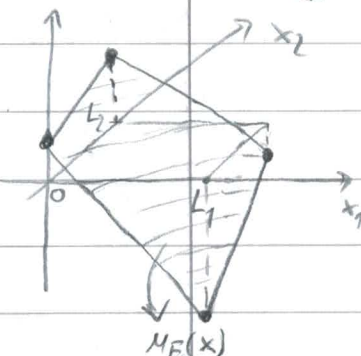
$$\text{- offensbar: } \Delta u_E = 0$$

$$\text{- sei } v := u - u_E$$

$$\Rightarrow \Delta v(x) = 0, \quad x \in \Omega$$

$$v(x) = h(x) - u_E(x), \quad x \in \partial \Omega$$

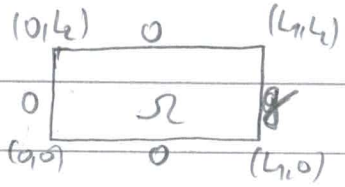
$$= 0 \quad \forall x \in E$$



Wende Zerlegung (22) an v an

\Rightarrow jedes Teilproblem hat stetige RB, die in den Ecken verschwinden!

OBdA betrachte



$$(23) \quad \left\{ \begin{array}{l} \Delta v(x) = 0, \quad x \in \Omega \\ v(0, x_2) = v(x_1, 0) = v(x_1, L_2) = 0, \quad v(L_1, x_2) = g(x_2) \quad \forall x_1 \in [0, L_1], \\ \quad x_2 \in [0, L_2] \end{array} \right.$$

wobei $g \in C([0, L_2], \mathbb{R})$ stückw. C^1 mit $g(0) = g(L_2) = 0$.

$$\text{Separationsansatz: } v(x) = \varphi(x_1) \psi(x_2)$$

$$\Delta v = \varphi'' \psi + \varphi \psi'' = 0$$

$$\Rightarrow -\frac{\varphi''}{\varphi} = \frac{\psi''}{\psi} = \mu \quad (\text{konstante})$$

$$\Rightarrow -\varphi'' - \mu \varphi = 0 \quad (24)$$

$$-\psi'' + \mu \psi = 0 \quad (25)$$

$$\text{RB: } \varphi(0) = 0 \quad (24_{\text{RB}})$$

$$\psi(0) = \psi(L_2) = 0 \quad (25_{\text{RB}})$$

- (25) & (25_{RB}) ist ein E-W-Problem mit Lösungen

$$(\mu_n, \psi_n) = \left(-\frac{n^2 \pi^2}{L_2^2}, \sin\left(n \frac{\pi}{L_2} x_2\right) \right), \quad n \in \mathbb{N}$$

- Gl. (24) & (24_{RB}) mit $\mu = \mu_n$

$$\varphi_n''(x_1) = \frac{n^2 \pi^2}{L_2^2} \varphi_n(x_1), \quad \varphi_n(0) = 0$$

$$\Rightarrow \varphi_n(x_1) = c_n \sinh\left(n \frac{\pi}{L_2} x_1\right), \quad c_n \in \mathbb{R}$$

$$\text{Insgesamt: } v(x) = \sum_{n \in \mathbb{N}} c_n \sinh\left(n \frac{\pi}{L_2} x_1\right) \sin\left(n \frac{\pi}{L_2} x_2\right) \quad (26)$$

- bleibt zu erfüllen: $v(L_1, x_2) = g(x_2)$

$$\text{d.h. } \sum_n c_n \sinh\left(n \frac{\pi}{L_2} L_1\right) \sin\left(n \frac{\pi}{L_2} x_2\right) \stackrel{!}{=} g(x_2)$$

(Entwicklung von g in Fkt. des x_2 -Problems)

\hookrightarrow Sin-Reihe konvergiert gleichm. nach Koroll. 1.3,

$$\text{falls } (27) \quad c_n = \frac{2}{L_2 \sinh\left(n \frac{\pi}{L_2} L_1\right)} \int_0^{L_2} g(y) \sin\left(n \frac{\pi}{L_2} y\right) dy$$

Also (26) mit (27) ist eine kl. Lsg von (23).

Bem: Separation der Variablen anwendbar auch für

- andere R.B.: Neumann \Rightarrow cos-Reihe-Darstellung

• periodisch \Rightarrow Volle Four.-Reihe-Darstellung

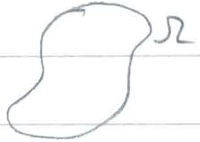
- andere Gebiete: • Kreisscheibe (2D) \rightarrow cf. Blatt 2

• Quadrate, Kugel, Zylinder (3D)

- andere Gl.-en: Wärmeleit., Wellengl., ...

NICHT anwendbar für allgemeine Gebiete Ω

$$\begin{aligned} & \text{Eigenpaare von} \\ & -\varphi''(y) = \mu \varphi, \varphi(0, L), \varphi'(0) = \varphi'(L) = 0 \\ & \text{Sind } (\mu_n, \varphi_n) = \left(\frac{n^2 \pi^2}{L^2}, \cos(n \frac{\pi}{L} y) \right) \end{aligned}$$



2.2. Fundamentalslösung, Greensche - Funktion

Ziel: Integraldarstellung der Lsg von (15) mit Hilfe der Greenschen Fkt

$$u(x) = - \int_{\partial \Omega} h(y) \frac{\partial G}{\partial \nu}(x, y) dS(y) + \int_{\Omega} f(y) G(x, y) dy.$$

($d\mu = d\mathcal{L}^n$), \mathcal{L}^n = Lebesgue-Maß in \mathbb{R}^n)

($dS(y) = d\mathcal{H}^{n-1}(y)$, \mathcal{H}^{n-1} = ($n-1$)-dim. Hausdorff-Maß)

Definition: Sei $\Omega \subset \mathbb{R}^n$ offen. Eine Plt. $u \in C^2(\Omega)$ heißt harmonisch in Ω , falls gilt

$$\Delta u(x) = 0 \quad \forall x \in \Omega.$$

Bsp: $\Omega = \mathbb{R}$: $u(x) = ax + b$ mit $a, b \in \mathbb{R}$

$$\Omega = \mathbb{R}^2 : u(x) = x_1^2 - x_2^2$$

$$u(x) = e^{x_1} \cos(x_2)$$

Lemma 2.2 (radial symmetrische harmon. Fkt in $\mathbb{R}^n \setminus \{0\}$)

Sei $\varphi \in C^2((0, \infty), \mathbb{R})$ und

$$u : \begin{cases} \mathbb{R}^n \setminus \{0\} \rightarrow \mathbb{R} \\ x \mapsto \varphi(|x|) \end{cases}, \text{ wobei } |x| = (x_1^2 + \dots + x_n^2)^{\frac{1}{2}} := r.$$

u ist harmonisch auf $\mathbb{R}^n \setminus \{0\}$ g.d.v. $\varphi(r) = \begin{cases} a + br, & n=1 \\ a + b \ln(r), & n=2 \\ a + b r^{2-n}, & n>2 \end{cases}$

Bew: 1) Beh.: $\Delta u = \varphi'' + \frac{n-1}{r} \varphi'$

$$\text{Bew: } \frac{\partial r}{\partial x_i} = \frac{x_i}{r}, \quad \frac{\partial u}{\partial x_i} = \varphi'(r) \frac{x_i}{r}, \quad \frac{\partial^2 u}{\partial x_i^2} = \varphi''(r) \frac{x_i^2}{r^2} + \varphi'(r) \left(\frac{1}{r} - \frac{x_i^2}{r^3} \right)$$

$$\Rightarrow \Delta u = \varphi''(r) \sum_{i=1}^n \frac{x_i^2}{r^2} + \frac{1}{r} \varphi'(r) \left(n - \frac{1}{r^2} \sum x_i^2 \right)$$

$$= \varphi''(r) + \frac{n-1}{r} \varphi'(r)$$

$$2) \varphi''(r) + \frac{n-1}{r} \varphi'(r) = 0 \quad \forall r \in (0, \infty) \Leftrightarrow r^{n-1} (r^{n-1} \varphi')' = 0$$

$$\Leftrightarrow r^{n-1} \varphi' = c = \text{konst.} \Leftrightarrow \varphi'(r) = c r^{1-n}$$

Def: Die Fkt. $\Phi: \mathbb{R}^n \setminus \{0\} \rightarrow \mathbb{R}$,

$$\Phi(x) := \begin{cases} -\frac{1}{2\pi} \ln(|x|), & n=2 \\ \frac{1}{(n-2)|S^{n-1}|} |x|^{2-n}, & n \geq 3 \end{cases}$$

heißt die Fundamentallösung der Laplace-Gl. (oder auch das Newton-Potenzial)

Notation: $B_R(x) := \{y \in \mathbb{R}^n : |y-x| < R\} = \text{offene Kugel in } \mathbb{R}^n \text{ zentriert in } x \text{ mit Radius } R$

$$S^{n-1} := \partial B_1(0) = \text{Einheitsosphäre in } \mathbb{R}^n$$

$|S^{n-1}| = \text{Flächeninhalt von } S^{n-1}$

Bem: Es gilt $|S^{n-1}| = n \cdot \text{Vol}(B_1(0))$ (Üb.-Blatt 2/13)

Lemma 2.3 Für jedes $R > 0$ gilt

$$\int_{B_R(0)} |\Phi(x)| dx < \infty, \quad \int_{B_R(0)} |\nabla \Phi(x)| dx < \infty.$$

Außerdem $\int_{B_\varepsilon(0)} |\Phi(x)| dx \rightarrow 0 \quad (\varepsilon \rightarrow 0).$

Bew:

$$\int_{B_R(0)} |\Phi(x)| dx = \begin{cases} c \int_0^R \ln(r) r dr < \infty \\ c \int_0^R r^{2-n} r^{n-1} dr = c \int_0^R r dr < \infty \end{cases}$$

Für $R \rightarrow 0$ verschwindet die Integrale.

$$\int_{B_R(0)} |\nabla \Phi(x)| dx \leq c \int_0^R r^{1-n} r^{n-1} dr = cR < \infty$$

Lemma 2.4 Es gilt $\int_{\partial B_R(0)} -\nabla \Phi(x) \cdot \nu(x) dS(x) = 1 \quad \forall R > 0$

Bew: 1) $\partial_r \Phi(r) \stackrel{(|S^{n-1}|=2\pi)}{=} -\frac{1}{|S^{n-1}|} r^{1-n} = -\frac{1}{|\partial B_r(0)|}$

$$\Rightarrow \nabla \Phi(x) = \partial_r \Phi(r) \frac{x}{|x|} = -\frac{1}{|\partial B_{|x|}(0)|} \frac{x}{|x|}$$

$$= -\frac{1}{|\partial B_R(0)|} \frac{x}{R} = -\frac{1}{|\partial B_R(0)|} \nu(x) \quad \forall x \in \partial B_R(0)$$

weil $\nu(x) = \frac{x}{R}$

$$2) \int_{\partial B_R(0)} -\nabla \Phi(x) \cdot \nu(x) dS(x) = \int_{\partial B_R(0)} \frac{1}{|B_R(0)|} \underbrace{\nu(x) \cdot \nu(x)}_{=1} dS(x) = 1$$

Notation: $f \in C_c^k(\mathbb{R})$ heißt $f \in C^k(\mathbb{R})$ und $\text{supp } f := \overline{\{x \in \mathbb{R} : f(x) \neq 0\}}$ ist eine kompakte Menge.

$f \in C_c(\mathbb{R})$: „ f hat kompakten Träger“

Satz 2.5 Sei $f \in C_c^2(\mathbb{R}^n)$ und $u(x) = (\Phi * f)(x) = \int_{\mathbb{R}^n} \Phi(x-y) f(y) dy$. Dann ist $u \in C^2(\mathbb{R}^n)$ und $-\Delta u = f$ in \mathbb{R}^n .

Bem: (i) Es reicht auch $f \in C_c^{0,1}(\mathbb{R}^n)$ [Gilberg, Trudinger]

(ii) Theorie für $f \in L^2(\mathbb{R}^n)$ später (PDE 2)

(iii) Seite 19,5

Bew: Sei $B_R(0) \supset \text{supp } f$.

I) z.B. $u \in C^2(\mathbb{R}^n)$ (mit Hilfe der domin. Konvergenz von Lebesgue).

Bem: $\int_{\mathbb{R}^n} \Phi(x-y) f(y) dy = \int_{\mathbb{R}^n} \Phi(y) f(x-y) dy$ durch $y := x-y$.

II) Stetigkeit: Wähle $x_0 \in \mathbb{R}^n$ und eine Folge $(x_k)_{k \in \mathbb{N}}$ mit $x_k \rightarrow x_0$ ($k \rightarrow \infty$)

$$(i) \Phi(y)f(x_k-y) \rightarrow \Phi(y)f(x_0-y) \quad \forall y \in \mathbb{R}^n \setminus \{0\}$$

$$(ii) |\Phi(y)f(x_k-y)| \leq \|f\|_{L^\infty(\mathbb{R}^n)} |\Phi(y)| \chi_{B_{2R}(x_0)}(y) \quad \text{für } k \text{ groß genug}$$

weil $f(x_k-y) \neq 0$ nur falls $|y-x_k| \leq R$ und dann

$$|y-x_0| \leq |y-x_k| + |x_k-x_0| \leq 2R \quad \text{für } k \text{ groß, da } x_k \rightarrow x_0.$$

$$\text{Majorant: } \|f\|_{L^\infty} |\Phi(\cdot)| \chi_{B_{2R}(x_0)}(\cdot) \in L^1(\mathbb{R}^n)$$

$$(i), (ii) \stackrel{\text{Lebesgue}}{\Rightarrow} \int_{\mathbb{R}^n} \Phi(y)f(x_k-y) dy \rightarrow \int_{\mathbb{R}^n} \Phi(y)f(x_0-y) dy \quad (k \rightarrow \infty)$$

"u(x_0)" ✓

Bern (iii): Die Rechnung

$$\Delta M(x) = \int_{\mathbb{R}^n} \underbrace{(\Delta \tilde{\Phi})(x-y)}_{=0 \text{ f.ü.}} f(y) dy = 0$$

ist falsch!!

$|\Delta \tilde{\Phi}(x)| \sim |x|^{-n}$, d.h. null integrierbar in \mathbb{R}^n
⇒ Differenzieren unter Integral nicht erlaubt!

2) $u \in C^1(\mathbb{R}^n)$: Sei $x \in \mathbb{R}^n$, $i \in \{1, \dots, n\}$

$$\frac{u(x+e_i) - u(x)}{+} = \int_{\mathbb{R}^n} \Phi(y) \frac{f(x+e_i-y) - f(x-y)}{+} dy$$

$$\rightarrow \Phi(y) \partial_{x_i} f(x-y) \quad \forall y \in \mathbb{R}^n \setminus \{0\}$$

$$\left| \Phi(y) \frac{f(x+e_i-y) - f(x-y)}{+} \right| \leq |\Phi(y)| \chi_{B_{2R}(x)}(y) \|f\|_{C^1(\mathbb{R}^n)} \text{ für } + \text{ klein genug}$$

wegen Mittelwertsatz
 $\|f\|_{C^1(\mathbb{R}^n)}$

Lebesgue $\Rightarrow \lim_{\varepsilon \rightarrow 0} \int_{\mathbb{R}^n} \Phi(y) \frac{f(x+e_i-y) - f(x-y)}{+} dy = \int_{\mathbb{R}^n} \Phi(y) \partial_{x_i} f(x-y) dy$

$$\partial_{x_i} u(x)$$

$$\text{und } \Phi(\cdot) \partial_{x_i} f(x-\cdot) \in L^1(\mathbb{R}^n)$$

Vgl. in 1) zeigt man $\partial_{x_i} u \in C(\mathbb{R}^n)$.

Analog: $\Phi(\cdot) \partial_{x_i x_j}^2 f(x-\cdot) \in L^1(\mathbb{R}^n)$, $u \in C^2(\mathbb{R}^n)$ und $\partial_{x_i x_j}^2 u(x) = \int_{\mathbb{R}^n} \Phi(y) \partial_{x_i x_j}^2 f(x-y) dy$
 $\forall i, j \in \{1, \dots, n\}$

2) z.B. $-\Delta u = f$

$$\Delta u(x) = \int_{B_\varepsilon(0)} \Phi(y) \Delta f(x-y) dy + \int_{\mathbb{R}^n \setminus B_\varepsilon(0)} \Phi(y) \Delta f(x-y) dy$$

$=: I_1^\varepsilon$ $=: I_2^\varepsilon$

$$I_1^\varepsilon \rightarrow 0 \quad (\varepsilon \rightarrow 0), \text{ da } f \in C^2 \text{ und } \int_{B_\varepsilon(0)} |\Phi(y)| \rightarrow 0 \quad (L. 2.3)$$

$$I_2^\varepsilon = \int_{\mathbb{R}^n \setminus B_\varepsilon(0)} \underbrace{\Delta \Phi(y)}_{\rightarrow 0} f(x-y) dy + \int_{\partial B_\varepsilon(0)} \Phi(y) \nabla f(x-y) \cdot \nu_{\mathbb{R}^n \setminus B_\varepsilon(0)}(y) dS(y)$$

$$- \int_{\partial B_\varepsilon(0)} f(x-y) \nabla \Phi(y) \cdot \nu_{\mathbb{R}^n \setminus B_\varepsilon(0)}(y) dS(y)$$

$$\begin{aligned} &= -\frac{1}{\varepsilon} \int_{\partial B_\varepsilon(0)} \Phi(y) \nabla f(x-y) \cdot y dS(y) + \int_{\partial B_\varepsilon(0)} f(x-y) \nabla \Phi(y) \cdot \nu_{\mathbb{R}^n \setminus B_\varepsilon(0)}(y) dS(y) \\ &\quad (\nu_{\mathbb{R}^n \setminus B_\varepsilon(0)}(y) = -\frac{1}{\varepsilon} y) \\ &=: I_3^\varepsilon + I_4^\varepsilon \end{aligned}$$

$$|I_3^\varepsilon| \leq \Phi(\varepsilon) \|f\|_{C^1(\mathbb{R}^n)} |\partial B_\varepsilon(0)| \leq C\varepsilon^{n-1} \Phi(\varepsilon) \leq \begin{cases} C\varepsilon \log \varepsilon, & n=2 \\ C\varepsilon, & n \geq 3 \end{cases}$$

$\rightarrow 0 (\varepsilon \rightarrow 0)$

$$I_4^\varepsilon = - \underbrace{\int_{\partial B_\varepsilon(0)} -\nabla \Phi(y) \cdot \nu_{B_\varepsilon(0)}(y) dS(y)}_{= 1 (L. 2.4)} +$$

$$+ \underbrace{\int_{\partial B_\varepsilon(0)} -\nabla \Phi(y) \cdot \nu_{B_\varepsilon(0)}(y) (f(x-y) - f(x)) dS(y)}_{= \frac{1}{|\partial B_\varepsilon(0)|} |\nu|^2 > 0} \quad | \dots | \leq C\varepsilon, \text{ da } f \in C^1 \quad (\text{mittl. Werte})$$

$$=: -f(x) + I_5^\varepsilon$$

$$|I_5^\varepsilon| \leq C\varepsilon \int_{\partial B_\varepsilon(0)} -\nabla \Phi(y) \cdot \nu_{B_\varepsilon(0)}(y) dy \stackrel{L. 2.4}{=} C\varepsilon \rightarrow 0$$

$$\text{Insgesamt: } \Delta u(x) = \lim_{\varepsilon \rightarrow 0} (I_1^\varepsilon + I_3^\varepsilon + I_4^\varepsilon) = -f(x)$$

Interpretation von Φ als Distributionslsg

wir zeigen: „ Φ erfüllt $-\Delta \Phi = \delta_0$ im Distributionssinn“

Notation: Sei $\Omega \subset \mathbb{R}^n$ offen ($\Omega = \mathbb{R}^n$ möglich).

$$D(\Omega) := C_c^\infty(\Omega) \quad (\text{"Testfunktionen"})$$

Konvergenz in D : $\varphi_j \xrightarrow{D} \varphi$, falls $\exists K \subset \Omega$ kompakt, s.d.

(i) $\text{supp } \varphi_j \subset K \quad \forall n \in \mathbb{N}$

(ii) $\partial^\alpha \varphi_j \rightarrow \partial^\alpha \varphi$ gleichm. auf $K \quad \forall \alpha \in \mathbb{N}_0^n$.

Df (Distribution)

Eine Distribution ist eine lin. stetige Abb. $T: D(\Omega) \rightarrow \mathbb{R}$, d.h.

$$\varphi_j \xrightarrow{D} \varphi \Rightarrow T(\varphi_j) \rightarrow T(\varphi).$$

$D'(\mathbb{R})$ = Menge aller Distributionen

Bem: D' ist der topolog. Dualraum zu D .

Bsp: 1) Sei $f \in L^1_{loc}(\mathbb{R})$ (d.h. $\int_K |f(x)| dx < \infty \quad \forall K \subset \mathbb{R}$ kompakt)

$$T_f : \left\{ \begin{array}{l} D(\mathbb{R}) \rightarrow \mathbb{R} \\ \varphi \mapsto T_f(\varphi) := \int_{\mathbb{R}} f(x) \varphi(x) dx \end{array} \right\} \text{ ist eine Distrib., weil}$$

(i) T_f ist linear

(ii) Sei $\varphi_n \xrightarrow{D} \varphi$ und $K \subset \mathbb{R}$ kompakt mit $\text{supp } \varphi_n \subset K \quad \forall n$.

Es gilt $\int_{\mathbb{R}} \varphi_n f \rightarrow \int_{\mathbb{R}} \varphi f$ nach Lebesgue domin. Konvergenz

wegen $\cdot \varphi_n f \rightarrow \varphi f$ punktweise

$$\cdot |\varphi_n f| \leq \chi_K \sup_{x \in K} (|\varphi_n(x)|) \cdot |f| \quad \text{für } n \text{ groß. genug (wegen } \varphi_n \xrightarrow{D} \varphi\text{)}$$

2) Dirac-Distribution δ_{x_0} in $x_0 \in \mathbb{R}$

$$\delta_{x_0} : \left\{ \begin{array}{l} D(\mathbb{R}) \rightarrow \mathbb{R} \\ \varphi \mapsto \delta_{x_0}(\varphi) := \varphi(x_0) \end{array} \right.$$

Offensichtlich $\delta_{x_0} \in D'(\mathbb{R})$.

Def: (distributionelle Ableitung)

Sei $T \in D'(\mathbb{R})$, $\alpha \in \mathbb{N}_0^n$ (Multiindex). Die α -Ableitung von T ist

$$(D^\alpha T)(\varphi) := (-1)^{|\alpha|} T(D^\alpha \varphi) \quad \text{für } \varphi \in D(\mathbb{R}).$$

$$|\alpha| = \alpha_1 + \dots + \alpha_n.$$

Bsp: Sei $f \in L^1_{loc}(\mathbb{R})$ und T_f wie oben.

$$(D^\alpha T_f)(\varphi) = (-1)^{|\alpha|} \int_{\mathbb{R}} f(x) D^\alpha \varphi(x) dx \quad (\text{per Definition})$$

Falls $f \in C^\alpha(\mathbb{R}^n)$, dann nach partiellen Integration

$$(D^\alpha T_f)(\varphi) = \int_{\mathbb{R}} D^\alpha f(x) \varphi(x) dx = (T_{D^\alpha f})(\varphi).$$

Satz 2.6 Es gilt $-\Delta \Phi = \delta_0$ in $D'(\mathbb{R}^n)$ (d.h. im Distributionssinn)

genauer: $-\Delta T_\Phi = \delta_0$

Bew: Für beliebiges $u \in C_c^2(\mathbb{R}^n)$ sei $f := -\Delta u$ (dann $f \in C_c^0(\mathbb{R}^n)$)
gilt nach Satz 2.5 und Satz 2.17 (Eindeutigkeit)
 $u(x) = - \int_{\mathbb{R}^n} \Phi(x-y) \Delta u(y) dy.$

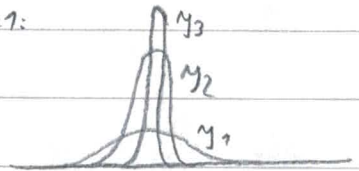
Deshalb auch für $\varphi \in D(\mathbb{R}^n)$ mit $x=0$:

$$\begin{aligned} \varphi(0) &= - \int_{\mathbb{R}^n} \underbrace{\Phi(-y)}_{=\Phi(y)} \Delta \varphi(y) dy = -(-1)^2 \int_{\mathbb{R}^n} \Phi(y) \Delta \varphi(y) dy \\ &= -\Delta T_\Phi(\varphi). \end{aligned}$$

Physikalische Interpretation der Fundamentallösung

δ_0 ist das distributionelle Limes einer „Dirac-Folge“ $(y_k)_{k \in \mathbb{N}}$ mit

- $\int_{\mathbb{R}^n} y_k(x) dx = 1$
- $y_k(x) \geq 0 \quad \forall x \in \mathbb{R}^n$
- $\lim_{k \rightarrow \infty} \int_{\mathbb{R}^n \setminus B_\varepsilon(0)} y_k(x) dx = 0 \quad \forall \varepsilon > 0$



Bsp: 1) Elektrostatisik: Für die Ladungsdichte f und elektr. Potenzial u
gilt $-\Delta u = f$

$\hookrightarrow f = \delta_x$ beschreibt die Ladung 1 konzentriert in x („Punktladung“)

2) Gravitation: Für die Massendichte f und Gravitationspotential u
gilt $\Delta u = f$

$\hookrightarrow -\Phi = \text{Potenzial einer Punktmasse}$

Greensche Funktion

Lemma 2.7 (Greensche Darstellung)

Sei $\Omega \subset \mathbb{R}^n$ ein beschr. Lip.-Gebiet, $x \in \Omega$ und $u \in C^2(\bar{\Omega})$. Dann gilt

$$u(x) = - \int_{\Omega} (\Phi(x-y) \Delta u(y)) dy + \int_{\partial\Omega} (\Phi(x-y) \nabla u(y) \cdot \nu(y) - u(y) \nabla_y (\Phi(x-y)) \cdot \nu(y)) dS(y), \quad x \in \Omega.$$

Bew: Sei $x \in \Omega$ und $\varepsilon > 0$ s.d. $B_\varepsilon(x) \subset \Omega$.

Green \Rightarrow

$$\int_{\Omega \setminus B_\varepsilon(x)} u(y) \Delta_y (\Phi(x-y)) - \Delta u(y) \Phi(x-y) dy = 0, \text{ da } |x-y| > 0$$

$$= \int_{\partial(\Omega \setminus B_\varepsilon(x))} u(y) \nabla_y (\Phi(x-y)) \cdot \nu(y) - \Phi(x-y) \nabla u(y) \cdot \nu(y) dS(y)$$

$$= \int_{\partial\Omega} \dots dS(y) - \int_{\partial B_\varepsilon(x)} u(y) \nabla_y (\Phi(x-y)) \cdot \frac{y-x}{|y-x|} dS(y) + \int_{B_\varepsilon(x)} \Phi(x-y) \nabla u(y) \cdot \nu(y) dS(y)$$

$=: I_1$

$$||I_1|| \leq C \|u\|_{C^1(\overline{B_\varepsilon(x)})} \int_{\partial B_\varepsilon(x)} |\Phi(y)| dS(y)$$

$\rightarrow 0 \quad (\varepsilon \rightarrow 0)$

$$I_1 = \left[\tilde{y} := x-y \right] = - \int_{\partial B_\varepsilon(0)} u(x-\tilde{y}) \nabla \Phi(\tilde{y}) \left(\frac{-\tilde{x}}{|\tilde{y}|} \right) dS(\tilde{y}) = \int_{\partial B_\varepsilon(0)} u(x-y) \nabla \Phi(y) \cdot \nu(y) dS(y)$$

$\rightarrow -u(x) \quad (\varepsilon \rightarrow 0)$, cf. Bew von Satz 2.5

$$\Rightarrow u(x) = - \int_{\Omega} (\Delta u(y) \Phi(x-y)) dy - \int_{\partial\Omega} u(y) \nabla_y (\Phi(x-y)) \cdot \nu(y) - \Phi(x-y) \nabla u(y) \cdot \nu(y) dS(y)$$

Anwendung an das Dirichlet - Problem (15)

$$\begin{aligned} -\Delta u(x) &= f(x) & x \in \Omega \\ u(x) &= h(x) & x \in \partial\Omega \end{aligned} \quad \} \quad (15)$$

mit $\Omega \subset \mathbb{R}^n$ beschr. Lip.-Gebiet, $f \in C(\bar{\Omega})$, $h \in C(\partial\Omega)$

Lsgen von (15) erfüllen also

$$(28) \quad u(x) = \int_{\Omega} f(y) \Phi(x-y) dy - \int_{\partial\Omega} h(y) \nabla_y (\Phi(x-y)) \cdot \nu(y) dS(y) + \int_{\partial\Omega} \Phi(x-y) \nabla u(y) \cdot \nu(y) dS(y)$$

Problem: (28) nicht explizit wegen letzten Term?

Ausweg: Suche Funktion $G(x,y) = \Phi(x-y) + w(x,y)$

↳ Korrekturfunktion

sodass

$$(29) \quad \begin{cases} \Delta_y w(x,y) = 0, & x,y \in \Omega \\ w(x,y) = -\Phi(x-y), & x \in \Omega, y \in \partial\Omega \end{cases}$$

Sei w eine Lsg von (29) mit $w(\cdot, \cdot) \in C^2(\bar{\Omega})$ $\forall x \in \Omega$. Dann

$$\text{Green} \Rightarrow \int_{\Omega} w(x,y) \underbrace{\Delta u(y)}_{=-f(y)} dy - \int_{\Omega} u(y) \underbrace{\Delta_y w(x,y)}_{=0} dy = \int_{\partial\Omega} (w(x,y) \nabla u(y) \cdot \nu(y) - u(y) \nabla_y w(x,y) \cdot \nu(y)) dS(y)$$

$$(30) \quad \int_{\Omega} w(x,y) f(y) dy - \int_{\partial\Omega} h(y) \nabla_y w(x,y) \cdot \nu(y) dS(y) - \int_{\partial\Omega} \Phi(x-y) \nabla u(y) \cdot \nu(y) dS(y)$$

(28) + (30):

$$u(x) = \int_{\Omega} G(x,y) f(y) dy - \int_{\partial\Omega} h(y) \nabla_y G(x,y) \cdot \nu(y) dS(y).$$

Def: Sei $\Omega \subset \mathbb{R}^n$ ein Gebiet. Für eine eindeutige Lsg w von (29) mit $w(\cdot, \cdot) \in C^2(\bar{\Omega})$ für alle $x \in \Omega$ heißt

$$G(x,y) = \Phi(x-y) + w(x,y), \quad x \in \Omega, y \in \bar{\Omega}, x \neq y$$

die Greensche Fkt für den Laplace-Operator zum Dirichlet-Problem auf Ω .

Wir haben also:

Satz 2.8: Sei $\Omega \subset \mathbb{R}^n$ beschr. Lip.-Gebiet und $u \in C^2(\bar{\Omega})$ eine Lsg von (15).

Dann gilt für alle $x \in \Omega$

$$u(x) = \int_{\Omega} G(x,y) f(y) dy - \int_{\partial\Omega} h(y) \frac{\partial G}{\partial \nu}(x,y) dS(y),$$

wobei $\frac{\partial G}{\partial \nu}(x,y) := \nabla_y G(x,y) \cdot \nu(y), \quad y \in \partial\Omega.$

Bem: 1) $\forall x \in \Omega$ erfüllt $G(x, \cdot)$

$$\begin{aligned} -\Delta_y G(x, y) &= \delta_x(y), \quad y \in \Omega \quad (\text{im Distr.-Sinn}) \\ G(x, y) &= 0 \quad , \quad y \in \partial\Omega \end{aligned}$$

2) Existiert w zu (2g) (und dann G)?

↳ cf. "Perron-Verfahren" (§ 2.4)

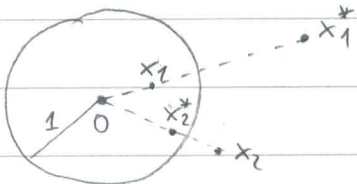
3) Kann ist G explizit bekannt?

↳ selten, z.B. für $\Omega = \text{Kugel}, \text{Halbraum}$

4) G für das Neumann-Problem: Blatt 3

Greensche Funktion für den Einheitsball $B_1(0) \subset \mathbb{R}^n$

Spiegelungsmethode: Für $x \in \mathbb{R}^n \setminus \{0\}$ heißt $x^* := \frac{1}{|x|^2} x$ der Spiegelpunkt zu x .



Bem: $x \in B_1(0) \Leftrightarrow x^* \notin B_1(0)$

Satz 2.9 Die Greensche Fkt für $\Omega = B_1(0)$ ist

$$G: \begin{cases} B_1(0) \times \overline{B_1(0)} \rightarrow \mathbb{R} \\ (x, y) \mapsto G(x, y) = \begin{cases} \Phi(x-y) - \Phi(|x| |x^*-y|), & x \neq 0, y \neq x \\ \Phi(y) - \Phi(p_1), & x=0, y \neq 0. \end{cases} \end{cases}$$

Bem: Seite 26,5.

$$\text{Bew: Die Korrekturfkt ist } w(x, y) = \begin{cases} -\Phi(|x| |x^*-y|), & x \in B_1(0) \setminus \{0\}, y \in B_1(0) \\ -\Phi(p_1), & x=0, y \in B_1(0) \end{cases}$$

1) 2.2. $\Delta_y w(x, y) = 0 \quad \forall x, y \in B_1(0)$
Sei $x, y \in B_1(0)$.

a) $x \neq 0$

$$\left. \begin{aligned} &\Rightarrow |x| |x^*-y| \neq 0 \Rightarrow \Delta_y \Phi(|x| |x^*-y|) = \\ &x^* \notin B_1(0) \Rightarrow x^*-y \neq 0 \quad \underbrace{\Rightarrow}_{=0} \quad = |x|^2 (\Delta_y \Phi)(|x| |x^*-y|) = 0 \end{aligned} \right\}$$

Bem: In \mathbb{R}^n wäre $\Delta_2 G(x, \cdot) = \delta_x - 1 \times 1^2 \delta_x$

Elektrostatik: für das Problem auf $B_1(0)$ führen wir also eine gedankliche Ladung in x^+ ein

\hookrightarrow führt zu Potential $= 0$ ($G(x, y) = 0$) auf $\partial B_1(0)$

$$b) \quad x=0 : \quad \Delta_y w(0,y) = -\Delta_y (\Phi(e_1)) = 0$$

$$2) \text{ z.B. } w(x,y) = -\Phi(x-y) \quad \forall x \in B_1(0), y \in \partial B_1(0)$$

Sei $y \in \partial B_1(0)$.

$$\begin{aligned} |x|^2 |y-x|^2 &= |x|^2 \left(1 - 2y \cdot x \frac{1}{|x|^2} + \frac{1}{|x|^2}\right) = |x|^2 - 2y \cdot x + \frac{1}{|x|^2} = |x-y|^2 \\ \Rightarrow |x||y-x| &= |x-y| \end{aligned}$$

$$\text{Also: } w(x,y) = \begin{cases} -\Phi(|x|(x-y)) & \text{if radial sym.}, \\ -\Phi(e_1) = -\Phi(y) = -\Phi(x-y) & x=0 \end{cases}$$

G kann noch umformiert werden und man hat:

Korollar 2.10

Sei $u \in C^2(\bar{\Omega})$ eine Lsg von (15) mit $\Omega = B_1(0)$. Dann gilt

$$(31) \quad u(x) = \frac{1-|x|^2}{|S^{n-1}|} \int_{\partial B_1(0)} \frac{h(y)}{|x-y|^n} dS(y) + \int_{B_1(0)} p(y) G(x,y) dy, \quad x \in \Omega.$$

Bem: $K(x,y) := \frac{1-|x|^2}{|S^{n-1}|} |x-y|^{-n}$ heißt den Poisson-Kern für $B_1(0)$

$$\underline{\text{Bew:}} \quad \text{z.z. } \frac{\partial G}{\partial \nu}(x,y) = -K(x,y) \quad \forall y \in \partial B_1(0)$$

$$\text{Erinnerung: } \nabla \Phi(z) = -\frac{1}{|\partial B_{1/2}(0)|} \frac{z}{|z|} \quad , \quad |\partial B_{1/2}(0)| = |z|^{n-1} |S^{n-1}|$$

cf L. 2.4

$$\begin{aligned} 1) \quad x \neq 0 : \quad \frac{\partial G}{\partial \nu}(x,y) &= \nabla_y G(x,y) \cdot y = \nabla_y (\Phi(x-y)) \cdot y - \nabla_y (\Phi(|x|(x-y))) \cdot y \\ &= \frac{1}{|S^{n-1}|} |x-y|^{1-n} \frac{x-y}{|x-y|} \cdot y - \frac{1}{|S^{n-1}|} |x|^{1-n} |x-y|^{1-n} |x| \frac{x-y}{|x-y|} \cdot y \\ &\stackrel{(*)}{=} |x-y|^{1-n} \cdot \underbrace{\frac{x-y}{|x-y|}}_{\stackrel{(**)}{=} \frac{x-y}{|x-y|}} \cdot \underbrace{|x|}_{\stackrel{(**)}{=} \frac{|x|^2}{|x-y|}} \\ &= \frac{1}{|S^{n-1}|} \left(\frac{x-y - (x-y)|x|^2}{|x-y|^n} \right) \cdot y = \frac{1}{|S^{n-1}|} \left(\frac{x-y - x^2 + y|x|^2}{|x-y|^n} \right) \cdot y \\ &= \frac{1}{|S^{n-1}|} \frac{|x|^2 - 1}{|x-y|^n} \quad \checkmark \end{aligned}$$

$$2) x=0: \frac{\partial \phi}{\partial v}(0,y) = \nabla \phi(y) \cdot \mathbf{y} = -\frac{1}{|S^{n-1}|} \frac{|y|^2}{|y|} = -\frac{1}{|S^{n-1}|} \quad \forall y \in \partial B_1(0)$$

Bem: Korollar 2.10 sagt nicht, dass (31) eine Lsg von (18) ist !!

Wir zeigen dies für $f=0$.

Satz 2.11 Sei $h \in C(\partial B_1(0))$ und $\mu(x) := \begin{cases} \int_{\partial B_1(0)} K(x,y) h(y) dS(y), & x \in B_1(0) \\ h(x), & x \in \partial B_1(0). \end{cases}$

Dann ist μ eine klass. Lsg von $\Delta \mu(x) = 0, x \in B_1(0)$

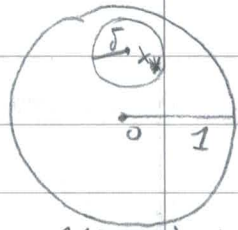
$$\mu(x) = h(x), \quad x \in \partial B_1(0).$$

Außerdem ist $\mu \in C^\infty(B_1(0))$.

Bewr: 1) rechtfertige Ableiten unter $\int_{\partial B_1(0)}$ (impliziert Konvergenz von Lebesgue)

Sei $x_* \in B_1(0)$, wählbar $\delta > 0$ s.d. $0 < \delta < 1 - |x_*|$.

$\partial_x^\alpha K$ ist auf $B_\delta(x_*) \times \partial B_1(0)$ gleichm. stetig (in beiden Variablen) $\forall \alpha \in \mathbb{N}_0^n$.



$\Rightarrow \forall \alpha \in \mathbb{N}_0^n$ hat $y \mapsto \partial_x^\alpha K(x,y)$ eine (in x) gleichm. $L^1(\partial B_1(0))$ -Repräsentante

$$\Rightarrow \partial_x^\alpha \mu(x_*) = \frac{1}{|S^{n-1}|} \int_{\partial B_1(0)} \partial_x^\alpha K(x_*, y) h(y) dS(y)$$

und $\partial_x^\alpha \mu$ stetig $\Rightarrow \mu \in C^\infty(B_1(0))$

2) 2.2. $\Delta \mu(x) = 0$

$$\partial_{x_i} \left(\frac{1-|x|^2}{|x-y|^n} \right) = \frac{-2x_i}{|x-y|^n} - n(1-|x|^2) |x-y|^{-n-1} \frac{x_i - y_i}{|x-y|} = \frac{-2x_i}{|x-y|^n} - \frac{n(1-|x|^2)(x_i - y_i)}{|x-y|^{n+2}}$$

$$\partial_{x_i}^2 \left(\frac{1-|x|^2}{|x-y|^n} \right) = -\frac{2}{|x-y|^n} + \frac{4nx_i(x_i - y_i)}{|x-y|^{n+2}} - \frac{n(1-|x|^2)}{|x-y|^{n+2}} + \frac{n(n+2)(1-|x|^2)(x_i - y_i)^2}{|x-y|^{n+4}}$$

$$\Rightarrow \Delta_x \frac{1-|x|^2}{|x-y|^n} = f_{x=y} = \frac{-(n+2)}{2n|x-y|^2 + 4nx \cdot (x-y) - n^2(1-|x|^2) + n(n+2)(1-|x|^2)} = 0$$

$$\Rightarrow \Delta_x K(x,y) = 0 \Rightarrow \Delta \mu(x) = 0 \quad \forall x \in B_\delta(x_*)$$

$$3) 22. \lim_{\substack{x \rightarrow x_* \\ x \in B_1(0)}} u(x) = h(x_*) \quad \forall x_* \in \partial B_1(0)$$

(i) Aus (31) mit $h \in L^1, f \leq 0, u \in L^1$ folgt

$$1 = \frac{1-|x|^2}{|S^{n-1}|} \int_{\partial B_1(0)} \frac{1}{|x-y|^n} dS_y \quad (32)$$

h stetig auf $\partial B_1(0)$ (Kompat.) $\Rightarrow h$ gleichm. stetig \Rightarrow

$$\forall \varepsilon > 0 \exists \delta > 0 : |y - x| < \delta, y \in \partial B_1(0) \Rightarrow |h(y) - h(x)| < \varepsilon.$$

Zu einem $x_* \in \partial B_1(0)$ sei

$$M := \{y \in \partial B_1(0) : |y - x_*| < \delta\}$$

$$M^c = \{y \in M : |y - x_*| \geq \delta\} = \partial B_1(0) \setminus M$$

$$u(x) - h(x_*) = \frac{1-|x|^2}{|S^{n-1}|} \left(\int_M \frac{h(y) - h(x_*)}{|x-y|^n} dS_y + \int_{M^c} \frac{h(y) - h(x_*)}{|x-y|^n} dS_y \right)$$

Sei $x \in B_1(0) : |x - x_*| < \frac{\delta}{2}$.

Für $y \in M^c$ ist $|y - x| \geq |y - x_*| - |x_* - x| > \delta - \frac{\delta}{2} = \frac{\delta}{2}$

und $\frac{|h(y) - h(x_*)|}{|y - x|^n} \leq \frac{2^{n+1} \|h\|_\infty}{\delta^n}$.

$$\Rightarrow |u(x) - h(x_*)| \leq \frac{1-|x|^2}{|S^{n-1}|} \left(\int_M \frac{\varepsilon}{|x-y|^n} dS_y + \int_{M^c} \frac{2^{n+1} \|h\|_\infty}{\delta^n} dS_y \right)$$

$$\leq \frac{1-|x|^2}{|S^{n-1}|} \left(\int_{\partial B_1(0)} \frac{\varepsilon}{|x-y|^n} dS_y + \int_{\partial B_1(0)} \frac{2^{n+1} \|h\|_\infty}{\delta^n} dS_y \right)$$

$$\stackrel{(32)}{=} \varepsilon + \frac{1-|x|^2}{\delta^n} 2^{n+1} \|h\|_\infty$$

$< 2\varepsilon$ falls $|x - x_*| < \tilde{\delta} < \frac{\delta}{2}$ mit $\tilde{\delta}$ klein genug,

weil $1-|x|^2 = (1+|x|)(1-|x|) \leq 2(1-|x|) = 2(|x_*| - |\delta|) \leq 2|x_* - x| < 2\tilde{\delta}$

Poisson-kern für allgemeinen Ball $B_R(x_0)$, $R > 0$, $x_0 \in \mathbb{R}^n$.

Sei $\Omega := B_R(x_0)$, $h \in C(\partial\Omega)$. Setze $h_R(x) := h(Rx + x_0)$.

Es gilt $h_R \in C(\partial B_1(0))$ und

$$u_R(x) := \frac{1 - |x|^2}{|S^{n-1}|} \int_{\partial B_1(0)} \frac{h_R(y)}{|x-y|^n} dS(y)$$

erfüllt $-\Delta u_R = 0$ in $B_1(0)$

$u_R = h_R$ auf $\partial B_1(0)$.

$$h(x) = h_R\left(\frac{x-x_0}{R}\right), x \in \partial B_R(x_0)$$

$$\Rightarrow \text{setze also } u(x) := u_R\left(\frac{x-x_0}{R}\right), x \in \overline{B_R(x_0)}$$

$$\text{Dann (i) } \Delta u(x) = R^2 (\Delta u_R)\left(\frac{x-x_0}{R}\right) = 0, x \in B_R(x_0)$$

(ii) sei $x \in \partial B_R(x_0)$

$$u(x) = u_R\left(\frac{x-x_0}{R}\right) = h_R\left(\frac{x-x_0}{R}\right) = h(x).$$

$$\underline{\text{Umformen:}} \quad u(x) = \frac{1 - \frac{|x-x_0|^2}{R^2}}{|S^{n-1}|} \int_{\partial B_1(0)} \frac{h(Ry+x_0)}{\left|\frac{x-x_0}{R} - y\right|^n} dS(y)$$

$$= \frac{R^2 - |x-x_0|^2}{R^2 |S^{n-1}|} \int_{\partial B_R(x_0)} \frac{h(z)}{|x-z|^n} dS(z)$$

$$= \frac{R^2 - |x-x_0|^2}{R |S^{n-1}|} \int_{\partial B_R(x_0)} \frac{h(z)}{|x-z|^n} dS(z), x \in B_R(x_0).$$

Poisson-kern für $B_R(0)$:

$$(33) \quad K_R(x, y) := \frac{R^2 - |x|^2}{R |S^{n-1}|} \frac{1}{|x-y|^n}, x \in B_R(0), y \in \partial B_R(0).$$

Bem: Zwei Lösungsdarstellungen für $\Delta u = 0$, $B_1(0)$
 $u = h$, $\partial B_1(0)$

a) $u(x) = \begin{cases} \int_{\partial B_1(0)} k(x,y) h(y) d\gamma(y), & x \in B_1(0) \\ h(x) & x \in \partial B_1(0) \end{cases}$

b) $u(x) = \tilde{u}(r, \varphi) = \frac{a_0}{2} + \sum_{n=1}^{\infty} r^n (a_n \cos(n\varphi) + b_n \sin(n\varphi))$

$$a_n = \frac{1}{\pi} \int_0^{2\pi} \tilde{h}(\varphi) \cos(n\varphi) d\varphi$$

$$b_n = \frac{1}{\pi} \int_0^{2\pi} \tilde{h}(\varphi) \sin(n\varphi) d\varphi$$

wobei $h(x) = \tilde{h}(\varphi)$, $x \in \partial B_1(0)$

$$x = (r \cos \varphi, r \sin \varphi).$$

-Voraussetzung: $\tilde{h} \in C([0, 2\pi])$, stückweise $C^1([0, 2\pi])$ & periodisch

- Nach Koroll. 2.10 sind a) & b) identisch, falls in b) $u \in C^1(\bar{\Omega})$.
- Direkte Umformung zeigt die Identität ohne Nachweis von $u \in C^4(\bar{\Omega})$, cf. Skript von Ch. Meyer.
- Alternativ verwendet Satz 2.17 unten.

2.3 Eigenschaften harmonischer Funktionen

Def: (Gaußsche Mittelwerte)

Sei $u \in C(\overline{B_R(x_0)}, \mathbb{R})$ mit $R > 0$, $x_0 \in \mathbb{R}^n$.

$M_R(x_0, u) := \frac{1}{|S^{n-1}| R^{n-1}} \int_{\partial B_R(x_0)} u(x) dS(x)$ heißt der Oberflächenmittelwert von u in x_0

$M_R(x_0, u) := \frac{n}{|S^{n-1}| R^n} \int_{B_R(x_0)} u(x) dx$ heißt der Volumenmittelwert von u in x_0 .

Erinnerung: $|\partial B_R(0)| = |S^{n-1}| R^{n-1}$, $\text{vol}(B_R(0)) = \frac{|S^{n-1}|}{n} R^n$

Lemma 2.12: Sei $\Omega \subseteq \mathbb{R}^n$ offen, $u \in C(\Omega, \mathbb{R})$ und $x_0 \in \Omega$. Dann

$$\lim_{R \rightarrow 0} M_R(x_0, u) = \lim_{R \rightarrow 0} M_R(x_0, u) = u(x_0).$$

$$\text{Bew: } M_R(x_0, \mu) - \mu(x_0) = \frac{1}{|S^{n-1}| R^{n-1}} \int_{\partial B_R(x_0)} \mu(x) - \mu(x_0) dS(x)$$

μ stetig $\Rightarrow \forall \varepsilon > 0 \exists \delta > 0: R < \delta \Rightarrow |\mu(x) - \mu(x_0)| < \varepsilon$.

$$\text{Also } |M_R(x_0, \mu) - \mu(x_0)| \leq \frac{\varepsilon}{|S^{n-1}| R^{n-1}} \int_{\partial B_R(x_0)} 1 dS(x) = \varepsilon$$

Für M_R analog.

Übung
(Blatt 4)

Satz 2.13 (Mittelwerteigenschaft)

Sei $\Omega \subset \mathbb{R}^n$ offen, $\mu \in C^2(\Omega)$, $\overline{B_R(x_0)} \subset \Omega$

(i) Falls $-\Delta \mu \leq 0$ auf $B_R(x_0)$, dann

$$\mu(x) \leq M_R(x) \leq m_R(x)$$

(ii) Falls $\Delta \mu = 0$ auf $B_R(x_0)$, dann

$$\mu(x) = m_R(x_0) = M_R(x_0).$$

$$\text{Bew: (i) } m_R(x_0) = \frac{1}{|S^{n-1}| R^{n-1}} \int_{\partial B_1(0)} R^{n-1} \mu(x_0 + Rz) dS(z) = \frac{1}{|S^{n-1}|} \int_{\partial B_1(0)} \mu(x_0 + Rz) dS(z)$$

$$\frac{d}{dr} m_R(x_0) = \frac{1}{|S^{n-1}|} \int_{\partial B_1(0)} (\nabla \mu)(x_0 + rz) \cdot z dS(z)$$

$$\stackrel{\text{Gauß}}{=} \frac{1}{|S^{n-1}|} \int_{B_1(0)} \nabla \cdot (\nabla \mu(x_0 + rz)) dz$$

$$= \frac{1}{|S^{n-1}|} \int_{B_1(0)} \Delta \mu(x_0 + rz) dz \geq 0$$

$\mu \in C^2(\overline{B_R(x_0)})$, $V(z, r) := \mu(x_0 + rz)$
 $V, \partial_r V$ gleichstetig auf $\partial B_1(0) \times [0, R]$
 $\Rightarrow \partial_r \int_{B_1(0)} V(z, r) dz = \int_{B_1(0)} \partial_r V(z, r) dz$

$$\mu(x_0) \stackrel{(L^2[1])}{=} \lim_{r \rightarrow 0} m_r(x_0) \leq m_R(x_0) \quad (\text{da } m_r \text{ nicht fallend}) \quad (*)$$

$$M_R(x) = \frac{n}{|S^{n-1}| R^n} \int_0^R \int_{\partial B_r(x)} \mu(y) dS(y) dr = \frac{n}{R^n} \int_0^R r^{n-1} \underbrace{m_r(x)}_{\geq \mu(x)} dr \geq \mu(x) \quad (**)$$

Außerdem wegen $m_r(x_0) \leq M_R(x)$ ist $M_R(x) \leq \frac{n}{R^n} \int_0^R r^{n-1} dr = m_R(x) = M_R(x)$.

(ii) $\Delta u = 0 \Rightarrow -\Delta u \leq 0, -\Delta v \leq 0$, wobei $v = -u$.

$$\left. \begin{aligned} &\Rightarrow m_R(x_0; v) \stackrel{(i)}{\geq} v(x_0) = -u(x_0) \\ &\quad \text{||} \\ &\quad -m_R(x_0; u) \\ &\cdot m_R(x_0; u) \stackrel{(i)}{\geq} u(x_0) \end{aligned} \right\} \Rightarrow m_R(x_0; u) = u(x_0)$$

Wegen (i) folgt dann auch $u(x_0) = M_R(x_0; u)$. ■

Satz 2.14 (inverse MWE)

Sei $\Omega \subset \mathbb{R}^n$ offen, $u \in C^2(\Omega)$ und $M_R(x_0) = u(x_0)$ oder $m_R(x_0) = u(x_0) \quad \forall x \in \overline{B_R(x_0)} \subset \Omega$.

Dann ist $\Delta u(x) = 0, x \in \Omega$.

Bew.: 1) Angenommen $-\Delta u(x_0) < 0$ für ein $x_0 \in \Omega$. Dann $\exists R > 0$ s.d. $\overline{B_R(x_0)} \subset \Omega, -\Delta u(x) < 0 \quad \forall x \in \overline{B_R(x_0)}$.

$$\Rightarrow \frac{d}{dr} m_r(x) > 0 \quad \forall r \in (0, R)$$

$$\stackrel{(*)}{\Rightarrow} m_R(x_0) > u(x_0) \stackrel{(1)}{\Rightarrow} M_R(x_0) > u(x_0) \rightarrow \leftarrow$$

2) Falls $-\Delta u(x_0) > 0$, analog.

Bem.: Später wird gezeigt sogar $u \in C^2(\Omega), M_R(x_0) = u(x_0)$ oder $m_R(x_0) = u(x_0) \quad \forall x \in \overline{B_R(x_0)} \subset \Omega \Rightarrow u \in C^2(\Omega), \Delta u = 0 \text{ in } \Omega$.

Satz 2.15 (Maximumprinzip) !!

Sei $\Omega \subset \mathbb{R}^n$ offen und beschr. und $u \in C^2(\Omega) \cap C(\bar{\Omega})$. F.K.

Falls $-\Delta u \leq 0$ in Ω , dann

$$\max_{x \in \bar{\Omega}} u(x) = \max_{x \in \Omega} u(x)$$

Bew.: $\bar{\Omega}$ kompakt $\Rightarrow \max_{x \in \bar{\Omega}} u(x)$ angenommen in einem $x_0 \in \bar{\Omega}$

(a) Sei sogar $-\Delta u < 0$ in Ω

Falls $x_0 \in \Omega$ (inneres Max.), dann $D^2 u(x_0)$ negativ semi-definit

$$\Rightarrow \Delta u(x_0) = \operatorname{tr}(D^2 u(x_0)) \leq 0 \rightarrow \leftarrow$$

(b) Sei $-\Delta u \leq 0$ in Ω

Betrachte $u_\varepsilon(x) := u(x) + \varepsilon e^{x_1}$ mit $\varepsilon > 0$

$$-\Delta u_\varepsilon = -\Delta u - \varepsilon e^{x_1} < 0$$

Wende (a) auf u_ε an:

$$\max_{\partial\Omega} u + \varepsilon \max_{\partial\Omega} e^{x_1} \geq \max_{\bar{\Omega}} u_\varepsilon = \max_{\bar{\Omega}} u_\varepsilon \geq \max_{\bar{\Omega}} u$$

$$\text{Mit } \varepsilon \rightarrow 0 : \quad \max_{\partial\Omega} u \geq \max_{\bar{\Omega}} u$$

offenbar auch $\max_{\partial\Omega} u \leq \max_{\bar{\Omega}} u$ (da $\partial\Omega \subset \bar{\Omega}$)

Bew: 1) Für $-\Delta u \geq 0$ gilt das Minimumsprinzip (wende Satz 2.15 auf $-u$ an)

2) Für $-\Delta u = 0$ gilt

$$\max_{\bar{\Omega}} u = \max_{\partial\Omega} u, \quad \min_{\bar{\Omega}} u = \min_{\partial\Omega} u$$

Satz 2.16 (starkes Maximumsprinzip)

Sei $\Omega \subset \mathbb{R}^n$ beschr. Gebiet (d.h. offen, beschr., zusammenhäng.). und $u \in C^2(\Omega) \cap C(\bar{\Omega})$ mit $-\Delta u \leq 0$ in Ω . Dann ist

entweder (i) $u(x) < \max_{x \in \bar{\Omega}} u(x) \quad \forall x \in \Omega$

oder (ii) $u \equiv \text{const.} \quad \text{in } \Omega$.

Bew: $K := \max_{x \in \bar{\Omega}} u(x), \quad \Sigma := \{x \in \Omega : u(x) = K\}$

1) Σ ist relativ abgeschlossen in Ω , da u stetig

2) Σ ist rel. offen in Ω , denn:

Sei $x_0 \in \Sigma$ beliebig und $r > 0$ s.d. $B_r(x_0) \subset \Omega$

$$K = u(x_0) \stackrel{\text{MME}}{\leq} M_r(x_0) = \frac{1}{\text{vol}(B_r(x_0))} \int_{B_r(x_0)} u(y) dy \leq k$$

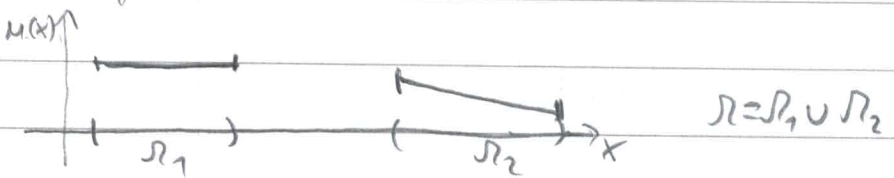
d.h. $M_r(x_0) = k \quad \& \quad u(x) \leq k \quad \forall x \in B_r(x_0)$

$$\Rightarrow u \equiv k \text{ auf } B_r(x_0) \Rightarrow B_r(x_0) \subset \Sigma$$

1), 2) $\Rightarrow \Sigma = \emptyset$ (Fall cii) oder $\Sigma = \Omega$ (Fall i, ii) ■

Bem: 1) Falls Ω nicht zusammenh. (Satz 2.15), dann innere Maxima / Minima möglich.

Bsp: ($n=1$)



$$\Omega = P_1 \cup P_2$$

2) Es gilt sogar:

Sei $\Delta u = 0$ auf einem Gebiet $\Omega \subset \mathbb{R}^n$. Falls u in Ω ein lokales Max oder Min hat, dann ist $u = \text{const}$ in Ω .

Satz 2.17 (Eindeutigkeit für das Dirichlet-Problem der Poiss.-Gl.)

Sei $\Omega \subset \mathbb{R}^n$ offen und beschr., $h \in C(\partial\Omega)$, $f \in C(\Omega)$. Dann gibt es höchstens eine klass. Lsg von $\begin{cases} -\Delta u = f & \text{in } \Omega \\ u = h & \text{auf } \partial\Omega \end{cases}$.

Bew: Seien u, \tilde{u} zwei Lsgen, $v := u - \tilde{u}$.

$$\text{Dann } -\Delta v = 0 \quad \text{in } \Omega$$

$$v = 0 \quad \text{auf } \partial\Omega$$

$$\left. \begin{array}{l} \text{Max.-Prinzip für } v: \quad v \leq \max_{\partial\Omega} v = 0 \\ -\Delta v = 0 \quad \Rightarrow \quad -v \leq \max_{\partial\Omega} (-v) = 0 \end{array} \right\} \Rightarrow v = 0$$

Satz 2.18 (Harnacksche Ungleichung)

Sei $u: B_R(0) \rightarrow [0, \infty)$ harmonisch. Dann

$$(34) \quad R^{n-2} \frac{R-|x|}{(R+|x|)^{n-1}} u(0) \leq u(x) \leq R^{n-2} \frac{R+|x|}{(R-|x|)^{n-1}} u(0) \quad \forall x \in B_R(0).$$

Beweis: $\text{P.C. } u \in \partial B_R(0), x \in B_R(0)$ ist

$$R - |x| = |y| - |x| \leq |x - y| \leq |x| + |y| \leq R + |x|$$

$$\Rightarrow \frac{R^2 - |x|^2}{R|S^{n-1}|(R+|x|)^n} \frac{1}{(R+|x|)^n} \leq K_R(x, y) \leq \frac{R^2 - |x|^2}{R|S^{n-1}|(R+|x|)^n} \frac{1}{(R-|x|)^n} \quad (*)$$

a) $u \in C(\overline{B_R(0)})$

Multipliziere (*) mit $u(y)$, integriere über $\partial B_R(0)$

$$\frac{R^2 - |x|^2}{R|S^{n-1}|(R+|x|)^n} \underbrace{\int_{\partial B_R(0)} u(y) dS(y)}_{(1) \text{ Masse}} \leq \int_{\partial B_R(0)} K_R(x, y) u(y) dS(y) \leq \frac{R^2 - |x|^2}{R|S^{n-1}|(R-|x|)^n} \underbrace{\int_{\partial B_R(0)} u(y) dS(y)}_{(2) \text{ Masse}}$$

$$(1) = |S^{n-1}| R^{n-1} M(0) \quad (2) = I(x)$$

• $I(x) = M(x)$ weil beide u und I Ligen von $-\Delta \Psi = 0$, $B_R(0)$
 $\Psi = u|_{\partial B_R(0)}, \partial B_R(0)$

sind (cf Koroll. 2.10) und wegen Eindeutigkeit.

$$\Rightarrow R^{n-2} \frac{R^2 - |x|^2}{(R+|x|)^n} M(0) \leq M(x) \leq R^{n-2} \frac{R^2 - |x|^2}{(R-|x|)^n} M(0) \quad \Rightarrow (34)$$

b) nur $u \in C^2(B_R(0))$ vorausgesetzt

Verwende a) auf $\overline{B_\rho(0)}$, $\rho < R$ und lass $\rho \rightarrow R$.



Korollar 2.19 Sei $u: B_R(0) \rightarrow [0, \infty)$ harmonisch. Dann

$$M(x) \leq 3^n M(y) \quad \forall x, y \in \overline{B_{R/2}(0)}$$

$$\text{Insbesondere } \max_{x \in \overline{B_{R/2}(0)}} u(x) \leq 3^n \min_{x \in \overline{B_{R/2}(0)}} u(x)$$

Beweis: $|x| \leq \frac{R}{2} \Rightarrow R + |x| \leq \frac{3}{2}R, R - |x| \geq \frac{R}{2}$

$$\stackrel{(34)}{\Rightarrow} R^{n-2} \frac{R}{2(\frac{3}{2}R)^{n-1}} M(0) \leq M(x) \leq R^{n-2} \frac{3R}{2(\frac{R}{2})^{n-1}} M(0)$$

$$\Rightarrow 2^{n-2} \cdot 3^{1-n} M(0) \leq M(x) \leq 2^{n-2} \cdot 3 M(0) \quad \forall x \in \overline{B_{R/2}(0)}$$

$$\Rightarrow M(x) \leq 3 \cdot 2^{n^2} M(0) \leq 3^n u(y) \quad \forall x, y \in \overline{B_{R_0}(0)}$$

■

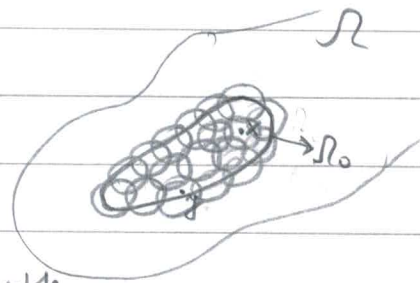
Satz 2.20 (allgemeine Harnack'sche Ungl.)

Sei $\Omega \subseteq \mathbb{R}^n$ ein Gebiet und u harmonisch auf Ω . Sei $\Omega_0 \subset \Omega$ Teilgebiet mit $\overline{\Omega_0} \subset \Omega$ kompakt. Dann $\exists c > 0$, $c = c(\Omega_0, \Omega)$ s.d.

$$\max_{x \in \Omega_0} u(x) \leq c \min_{x \in \Omega_0} u(x).$$

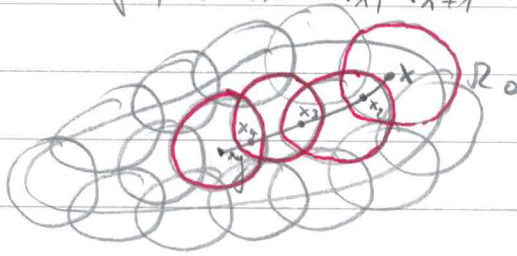
Bew: Sei $0 < R < \text{dist}(\overline{\Omega_0}, \partial\Omega)$

Überdecke $\overline{\Omega_0}$ mit Kugeln $\{B_{R_k}(a_1), \dots, B_{R_k}(a_k)\} = M$
 $(\overline{\Omega_0} \subset \Omega \text{ kpt} \Rightarrow \text{total-beschränkt})$



Seien $x, y \in \Omega_0$, $x \neq y$. Dann gibt es p Punkte

x_1, \dots, x_p , $p \leq k+1$ mit $x_1 = x$, $x_p = y$ und Kugeln $B_1, \dots, B_p \in M$
mit $B_i \neq B_j$ falls $i \neq j$, s.d. $x_i, x_{i+1} \in \overline{B_i}$, $i = 1, \dots, p-1$.



Koroll. 2.19

$$\Rightarrow u(x_1) \leq 3^n u(x_1), u(x_2) \leq 3^n u(x_2), \dots, u(x_p) \leq 3^n u(x_p)$$

$$\Rightarrow u(y) = u(x_p) \leq (3^n)^{p-1} u(x) \leq \underbrace{3^{nK}}_{=:c} u(x)$$

■

Satz 2.21 (Liouville)

Sei $u: \mathbb{R}^n \rightarrow \mathbb{R}$ harmonisch und nach oben oder unten beschränkt.
Dann ist u konstant.

Bew: a) $u(x) \leq c \quad \forall x \in \mathbb{R}^n$

Sei $w(x) := c - u(x)$. Offenbar $w \geq 0$ und $\Delta w = 0$ in \mathbb{R}^n

$$\text{Harnack} \Rightarrow \underbrace{R^{n-2} \frac{|R-x|}{(R+|x|)^{n-1}}}_{\rightarrow 1 \text{ f\"ur } R \rightarrow \infty \text{ und } x \text{ fest}} W(0) \leq W(x) \leq \underbrace{R^{n-1} \frac{|R+x|}{(R-|x|)^{n-1}}}_{\rightarrow 1} W(0) \quad \forall R > 0$$

Also mit $R \rightarrow \infty$ gilt $W(0) \leq W(x) \leq W(0) \quad \forall x \in \mathbb{R}^n$
 $\Rightarrow W$ konstant $\Rightarrow u$ konstant

b) $u(x) \geq c \quad \forall x \in \mathbb{R}^n$

Sei $W(x) = -u(x) - c$.

Satz 2.22 (Cauchy-Absch\"atzung)

Zu jedem Multiindex $\alpha \in \mathbb{N}_0^n$ gibt es $C_\alpha > 0$, so dass falls $u: B_R(a) \rightarrow \mathbb{R}$ harmonisch und $|u(x)| \leq M \quad \forall x \in B_R(a)$, dann

$$|D^\alpha u(a)| \leq \frac{C_\alpha M}{R^{|\alpha|}}. \quad (|\alpha| = d_1 + \dots + d_n)$$

Bew.: OBdA $a=0$ (const in $x := u(x+a)$)

(a) sei $R=1$ und $u \in C(\overline{B_1(0)})$ \rightarrow Poincaré-kern

Nach Korol. 2.10: $u(x) = \int_{\partial B_1(0)} K(x,y) u(y) dS(y)$

$$\begin{aligned} K(x,y) u(y) \text{ und } (D_x^\alpha K)(x,y) u(y) \text{ sind gleichstetig auf } \overline{B_1(0)} \times \overline{B_1(0)} \\ \Rightarrow D^\alpha u(x) = \int_{\partial B_1(0)} (D_x^\alpha K)(x,y) u(y) dS(y) \quad \forall x \in B_1(0) \\ \Rightarrow |D^\alpha u(x)| \leq M \int_{\partial B_1(0)} |(D_x^\alpha K)(x,y)| dS(y) =: M C_\alpha \end{aligned}$$

(b) Sei $R > 0$. F\"ur $\rho \in (0, R)$ setze $u_\rho(x) := u(\rho x)$

$$u \text{ harmon.} \Rightarrow u \in C^2(B_R(0)) \Rightarrow u \in C^2(\overline{B_R(0)}) \Rightarrow u_\rho \in C^2(\overline{B_1(0)})$$

$$|D^\alpha u(0)| \rho^{|\alpha|} = |D^\alpha u_\rho(0)| \stackrel{(a)}{\leq} C_\alpha M$$

Lass $\rho \rightarrow R$

2.4. Sub- und Superharmonische Funktionen; Perron-Verfahren

Def: Sei $\Omega \subset \mathbb{R}^n$ offen und $u \in C(\bar{\Omega}, \mathbb{R})$. u heißt subharmonisch bzw.

superharmonisch auf Ω , falls $\forall B_\delta(x_0)$ mit $\overline{B_\delta(x_0)} \subset \Omega$ gilt

$$u(x_0) \leq M_\delta(x_0, u)$$

$$\text{bzw. } u(x_0) \geq M_\delta(x_0, u).$$

Bem: genauer „sub/superharmonisch im Mittelpunktsradius“

Lemma 2.23. Sei $\Omega \subset \mathbb{R}^n$ offen und $u \in C^2(\Omega)$. Dann

$$(i) -\Delta u \leq 0 \text{ in } \Omega \Leftrightarrow u \text{ subharm. in } \Omega$$

$$(ii) -\Delta u \geq 0 \text{ in } \Omega \Leftrightarrow u \text{ superharm. in } \Omega$$

Bew: (i) \Rightarrow folgt aus Satz 2.13

\Leftarrow : Sei $-\Delta u(x_0) > 0$ für ein $x_0 \in \Omega$.

$$u \in C^2 \Rightarrow -\Delta u > 0 \text{ auf } B_\delta(x_0) \text{ für ein } \delta > 0$$

$$\stackrel{\text{Satz 2.13}}{\Rightarrow} u(x_0) > M_\delta(x_0, u)$$

(ii) analog □

Lemma 2.24 Sei $\Omega \subset \mathbb{R}^n$ beschr. Gebiet.

(i) Falls $u \in C(\bar{\Omega})$ subharmonisch, dann $\max_{\bar{\Omega}} u = \max_{\partial\Omega} u$

(ii) Falls $u \in C(\bar{\Omega})$ superharmonisch, dann $\min_{\bar{\Omega}} u = \min_{\partial\Omega} u$

Bew: cf. Beweis vom starken Max-Prinzip (Satz 2.16)

Df: (Unterfunktion, Oberfunktion)

Sei $\Omega \subset \mathbb{R}^n$ beschr. Gebiet und $h \in C(\partial\Omega)$.

$\mathcal{U}(\Omega, h) := \{v \in C(\bar{\Omega}): v \text{ subharmonisch und } v \leq h \text{ auf } \partial\Omega\} = \text{Unterfunktionen}$

$\mathcal{W}(\Omega, h) := \{v \in C(\bar{\Omega}): v \text{ superharm. und } v \geq h \text{ auf } \partial\Omega\} = \text{Oberfunktionen}$

Bew: $\Gamma \neq \emptyset$ und $W \neq \emptyset$ da $v := \min_{\partial\Omega} h \in \Gamma$
 und $w := \max_{\partial\Omega} h \in W$

Lemma 2.25: Es gilt $w \geq v$ für alle $w \in W(\Omega, h)$ und $v \in \Gamma(\Omega, h)$.

Bew: $\gamma := w - v$

1) z.z. $\gamma \in W(\Omega, 0)$

Sei $\overline{B_R(x_0)} \subset \Omega$ beliebig. Dann $\gamma(x_0) \geq M_R(x_0, w) - M_R(x_0, v) = M_R(x_0, \gamma)$.

$\gamma \geq h - h = 0$ auf $\partial\Omega$ ✓

2) Nach L. 2.24 ist $\gamma \geq 0$ auf $\bar{\Omega}$. ■

Satz 2.26 (inverser MWE - 2)

Sei $\Omega \subset \mathbb{R}^n$ beschr. Gebiet und $u \in C(\bar{\Omega})$ erfülle die
 MWE für jedes $\overline{B_R(x_0)} \subset \Omega$. Dann gilt $u \in C^\infty(\Omega)$ und
 $\Delta u = 0$ in Ω .

Bew: Sei $x_0 \in \Omega$, $\overline{B_R(x_0)} \subset \Omega$.

$$P_{R, x_0}(u) := \frac{R^{2-n} \pi^{-\frac{n}{2}}}{R(S^{n-1})} \int_{\partial B_R(x_0)} \frac{u(y)}{|x-y|^n} dS(y) \quad \begin{array}{l} \text{Poisson-Integral} \\ \text{von } u \Big|_{\partial B_R(x_0)} \end{array}$$

Nach S. 2.11 reicht z.z. $u = P_{R, x_0}(u)$ in $B_R(x_0)$.

$$\text{Sei } \gamma(x) := \begin{cases} P_{R, x_0}(u)(x), & x \in B_R(x_0) \\ u(x), & x \in \partial B_R(x_0) \end{cases}$$

$$\stackrel{S. 2.11}{\Rightarrow} \gamma \in C^\infty(B_R(x_0)), \Delta \gamma = 0 \text{ in } B_R(x_0) \stackrel{S. 2.13}{\Rightarrow} \gamma(x_0) = M_R(x_0, \gamma)$$

$$\left. \begin{array}{l} \bullet u, -u \text{ sind superharmon. in } \Omega \\ \bullet u = \gamma \text{ auf } \partial B_R(x_0) \end{array} \right\} \Rightarrow u \in W(B_R(x_0), \gamma|_{\partial B_R(x_0)})$$

$$-u \in W(B_R(x_0), -\gamma|_{\partial B_R(x_0)})$$

Aber auch $\gamma \in \Gamma(B_R(x_0), \gamma|_{\partial B_R(x_0)})$ und $-\gamma \in \Gamma(B_R(x_0), -\gamma|_{\partial B_R(x_0)})$

Nach L. 2.25 ist $\begin{cases} u \geq \gamma \text{ in } B_R(x_0) \\ -u \geq -\gamma \text{ in } B_R(x_0) \end{cases} \Rightarrow u = \gamma \text{ in } B_R(x_0)$

Das Perron-Verfahren

offene Frage zum Dirichlet-Problem:

- Existenz der korrekten Funktion w (offensichtlich für spezielle Ω)
- allgemeiner: Existenz von Lösungen zu

$$\begin{cases} -\Delta u = 0 & \text{in } \Omega \\ u = h & \text{auf } \partial\Omega \end{cases} \quad (P)$$

mit $\Omega \subset \mathbb{R}^n$ beschr. Gebiet, $h \in C(\partial\Omega)$.

Idee von Perron:

u ist auch Untrfunktion $\stackrel{\text{L.2.25}}{\Rightarrow} u \leq w$ \forall Oberfunktion w

Also erwarte $u = \inf \{w : w \in W\}$ "
(alternativ " $u = \sup \{v : v \in V\}$ ")

Genauer:

Satz 2.27: Sei $\Omega \subset \mathbb{R}^n$ beschr. Gebiet, $h \in C(\partial\Omega)$. Die Funktion

$$u : \begin{cases} \overline{\Omega} \rightarrow \mathbb{R} \\ x \mapsto \inf \{w(x) : w \in W(\Omega, h)\} \end{cases} \quad (34)$$

ist harmonisch in Ω .

Bem: 1) Randdaten in (P) diskutiert später

2) Falls $u \in C^2(\Omega) \cap C(\bar{\Omega})$ löst (P), dann $u \in W \cap V$

$$\stackrel{u \in V}{\Rightarrow} u \leq w \quad \forall w \in W \stackrel{u \in W}{\Rightarrow} u(x) = \inf \{w(x) : w \in W\}$$

(L.2.25)

Also klass. Ligen haben die Gestalt (34).

Def: (harmonische Lifting / Erweiterung [harmonic lift])

Sei $u \in C(\bar{\Omega})$ und $\overline{B_R(x_0)} \subset \Omega$. Die Fkt

$$(T_{x_0, R} u)(x) := \begin{cases} u(x), & x \in \bar{\Omega} \setminus \overline{B_R(x_0)} \\ \int_{\partial B_R(x_0)} K_{R, x_0}(x, y) u(y) dS(y), & x \in \overline{B_R(x_0)} \end{cases}$$

heißt die harmon. Lifting von u .

(K_{R, x_0} = Poiss.-kern für $\overline{B_R(x_0)}$)

Lemma 2.28

Sei $\Omega \subset \mathbb{R}^n$ beschr. Gebiet und $\overline{B_R(x_0)} \subset \Omega$.

- (i) Für $u \in W(\Omega, h)$ gilt $T_{x_0, R} u \in W$ und $T_{x_0, R} u \leq u$ in Ω
- (ii) $\| \cdot \|_W(\Omega, h) = \| \cdot \|_W$ und $\|\cdot\|_W \geq \|\cdot\|_W$

In beiden Fällen ist $T_{x_0, R} u$ harmonisch in $B_R(x_0)$.

Bew: $T_{x_0, R} u$ harmonisch in $B_R(x_0)$ wegen der Def. des Poiss.-kernes & S.2.11.

Sei $B := B_R(x_0)$.

$$(i): \begin{array}{l} \text{es ist } \Delta(T_{x_0, R} u) = 0 \quad \text{in } B \\ T_{x_0, R} u = u \quad \text{auf } \partial B \end{array} \left. \begin{array}{l} \text{L.2.25} \\ \Rightarrow \end{array} \right\} \begin{array}{l} T_{x_0, R} u \leq u \text{ in } \bar{B} \\ (T_{x_0, R} u \in \cap_{\delta \in (0, \frac{1}{2})} U(B, u)) \end{array}$$

$$\Rightarrow T_{x_0, R} u \leq u \text{ in } \bar{\Omega} \quad (\text{da } T_{x_0, R} u = u \text{ in } \bar{\Omega} \setminus B)$$

Noch z.z. $T_{x_0, R} u \in W$

Es reicht z.z. $\forall x_* \in \Omega \exists \delta > 0 : (T_{x_0, R} u)(x_*) \geq M_\delta(x_*, T_{x_0, R} u)$ $\forall \delta \in (0, \frac{1}{2})$

Zwei Fälle: a) $x_* \in B$. Dann wähle $\rho = \text{distr}(x_*, \partial B)$
 \Rightarrow es gilt „=“ in (*), da $T_{x_0, R} u$ harmonisch in B

b) $x_* \in \mathbb{R}^n \setminus B$.

Wähle $\rho = \text{distr}(x_*, \partial \mathbb{R})$. Dann $\forall \delta \in (0, \rho)$

$$(T_{x_0, R} u)(x_*) = u(x_*) \geq \inf_{u \in W} M_\delta(x_*, u) \geq M_\delta(x_*, T_{x_0, R} u) \quad T_{x_0, R} u \in u$$

(ii) analog

Lemma 2.29 Sei $\Omega \subset \mathbb{R}^n$ Gebiet, $u \in C(\Omega)$. Dann gilt

u superharmonisch in $\Omega \Leftrightarrow \forall x_* \in \Omega \exists \rho > 0 : B_\rho(x_*) \subset \Omega$ und $u(x_*) \geq \inf_{B_\rho(x_*) \cap \Omega} u$
 (ohne Beweis) $\forall \delta \in (0, \rho)$.

Bew. von Satz 2.27:

- Sei $w_0 := \|h\|_\infty$. Offenbar $w_0 \in W(\Omega, h)$, $-w_0 \in V$
- Andere Darstellung von u :

$$\begin{aligned} \inf \{w(x) : w \in W\} &= \inf_{w \in W} \{w(x) : w \in W, w \leq w_0\} \\ &\geq \inf \{(T_{x_0, R} w)(x) : w \in W, w \leq w_0\} \quad (\overline{\forall B_\rho(x_0)} \subset \Omega) \\ &\geq \inf_{T_{x_0, R} w \in W, w \leq w_0} \{w(x) : w \in W\} \end{aligned}$$

Also ist dies eine Gleichungskette.

Mit $\mathcal{X} := \{T_{x_0, R} w : w \in W, w \leq w_0\}$ ist also

$$u(x) = \inf \{z(x) : z \in \mathcal{X}\}. \quad (35)$$

1) 2.2. $u \in C(\Omega)$

Sei $B_R(x_0)$ belieb. mit $\overline{B_\rho(x_0)} \subset \Omega$.

Für $w \in W$ ist $w \geq -w_0$ (da $-w_0 \in V$)

$$\Rightarrow (i) T_{x_0, R} w \geq T_{x_0, R}(-w_0) = -w_0$$

ausführen (ii) $T_{x_0, R} w \leq w$ (L. 2.28)

$$(i), (ii) \Rightarrow \|z\|_\infty \leq w_0 \quad \forall z \in \mathcal{X}$$

$\left(\text{da } \int_{\partial B_\rho(x_0)} K_{R, x_0}(x, y) dz(y) = 1 \right)$
 $\partial B_\rho(x_0)$
 analog zu (32)

S. 2.22
 $\Rightarrow \left\| \frac{\partial z}{\partial x} \right\|_\infty, \overline{B_\rho(x_0)} \leq C \quad \forall i = 1, \dots, n, \forall z \in \mathcal{X}$
 (Cauchy-Absch.)

da $\text{distr}(\overline{B_\rho(x_0)}, \partial \mathbb{R}) > 0$

Ball $B_\rho(x)$ in S. 2.22



$$\Rightarrow |z(x) - z(y)| \leq c|x-y| \quad \forall x, y \in \overline{B_\rho(x_0)}, \forall z \in \mathcal{L}$$

$$\Rightarrow z(x) \leq z(y) + c|x-y|$$

Mit $\inf_{x \in \Omega}$ erhalten

$$u(x) \leq u(y) + c|x-y| \quad \forall x, y \in \overline{B_\rho(x_0)}$$

$$\Rightarrow |u(x) - u(y)| \leq c|x-y| \quad \forall x, y \in \overline{B_\rho(x_0)}$$

$$\Rightarrow u \text{ Lip-stetig in } \overline{B_\rho(x_0)} \Rightarrow u \text{ Lip.-stetig in } \Omega$$

2) z.B. u harmonisch in Ω

$$\text{Sei } \varepsilon > 0, \forall a \in \Omega \exists w_a \in W(\Omega, h) : u(a) \leq w_a(a) \leq u(a) + \varepsilon \quad (\text{da } u = \inf)$$

u, w_a stetig $\Rightarrow \exists$ off. Kugel $B(a) \subset \Omega$:

$$u(x) \leq w_a(x) \leq u(x) + 2\varepsilon \quad \forall x \in B(a). \quad (*)$$

Sei $\overline{B_R^{(x_0)}}$ off. Kugel mit $\overline{B_R^{(x_0)}} \subset \Omega$. Überdecke $\overline{B_R^{(x_0)}}$ mit $B(a_i), i=1, \dots, p, p \in \mathbb{N}$.

$$\overline{B_R^{(x_0)}} \subset \bigcup_{i=1}^p B(a_i).$$

Setze $w(x) := \min_{i=1, \dots, p} w_{a_i}(x), x \in \overline{\Omega}$.

Es gilt

- $w \in W$ (da $w_{a_i}(x) \geq M_R(x_0, w_{a_i}) \geq M_R(x_0, w) \quad \forall i$ und $w(x) = w_{a_i}(x)$ für ein i)
- $u(x) \leq w(x) \leq u(x) + 2\varepsilon \quad \forall x \in \overline{B_R^{(x_0)}}$ (wegen $(*)$)

Sei $z := \lim_{x_0 \rightarrow R} w$

$$\begin{aligned} \bullet L. 2.28 \Rightarrow z \text{ harmon. in } B_R(x_0), z \in W, z \leq w \text{ in } \Omega \} \Rightarrow u(x) \leq z(x) \leq u(x) + 2\varepsilon \\ \bullet (35) \Rightarrow u \leq z \end{aligned} \quad \forall x \in \overline{B_R(x_0)}$$

d.h. $z \in C(\overline{B_R(x_0)})$ ist harmon. in $B_R(x_0)$ und $\|z - u\|_{\infty, \overline{B_R(x_0)}} \leq 2\varepsilon$.

Kühle Nullfolge $(\varepsilon_n)_{n \in \mathbb{N}}$ und zugehörige $(z_n)_n$.

$z_n \xrightarrow[\text{in } \overline{B_R(x_0)}]{\text{gleich}} u$

$\xrightarrow[\text{(Weierstr.)}]{L. 2.30} u$ harmonisch in $B_R(x_0)$

Lemma 2.30 (Konvergenzsatze von Weierstr.)

Sei $\Omega \subset \mathbb{C}^{n+1}$ beschr. Gebiet und $(u_k)_{k \in \mathbb{N}} \subset C(\bar{\Omega})$ Folge in Ω harmonischer Fkt.-ren. Falls $(u_k)_k$ gleichmäßig auf $\partial\Omega$ konvergiert, dann kann. $(u_k)_k$ gleichm. auf $\bar{\Omega}$ gegen $u \in C(\bar{\Omega})$ harmonisch in Ω .

Bew.: • $\forall \varepsilon > 0 \exists k_0 \in \mathbb{N}: |u_k(x) - u_{k_0}(x)| \leq \varepsilon \quad \forall x \in \Omega, k, l \geq k_0$.
• $u_k - u_{k_0}$ ist harmonisch $\stackrel{\substack{\text{Maxpr} \\ \text{Minprinzip}}}{\Rightarrow} |u_k(x) - u_{k_0}(x)| \leq \varepsilon \quad \forall x \in \bar{\Omega}, k, l \geq k_0$.

Also $(u_k)_k$ ist Cauchy-Folge bzgl. der Sup-Norm auf $\bar{\Omega}$,
 $\Rightarrow u_k \xrightarrow{\text{gleichm.}} u \in C(\bar{\Omega})$.

Noch z.B. u harmonisch.

Sei $\overline{B_R(x_0)} \subset \Omega$ beliebig.

$$u(x_0) = \lim_{k \rightarrow \infty} u_k(x_0) \stackrel{\text{MWE}}{=} \lim_{k \rightarrow \infty} m_R(x_0, u_k) \stackrel{\substack{\text{gleichm.} \\ \text{konv.}}}{=} m_R(x_0, \lim_{k \rightarrow \infty} u_k) = m_R(x_0, u)$$

$\Rightarrow u$ harmonisch auf Ω

Perron-Lösung und die Randdaten

Frage: Gilt $\lim_{\substack{x \rightarrow x_0 \\ x \in \Omega}} u(x) = h(x_0) \quad \forall x_0 \in \partial\Omega$

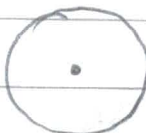
für die Perron-Lsg. u in Satz 2.27?

Im Allgem. nicht!

Bsp: Sei $n \geq 2$, $\Omega = B_1(0) \setminus \{0\} \subset \mathbb{C}^n$.

$$\Rightarrow \partial\Omega = \partial B_1(0) \cup \{0\}$$

$$\text{Sei } h(x) = \begin{cases} 0, & |x|=1 \\ 1, & x=0 \end{cases}$$



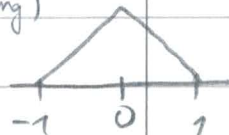
Bew.: Die Perron-Lsg ist $u(x) = \begin{cases} 0, & x \in \bar{\Omega} \setminus \{0\} \\ 1, & x=0 \end{cases}$.

$$(\text{also } \lim_{x \rightarrow x_0 \in \partial\Omega} u(x) = 0)$$

Bew: Übung

Bem: 1) Es gibt keine klass. Lsg zum obigen Beispiel. (Übung)

2) Für $n=1$ ist $u(x) = 1 - |x|$ eine klass. Lsg



Df: (regulärer Randpunkt)

Sei $\Omega \subset \mathbb{R}^n$ beschr. Gebiet. $x_0 \in \partial\Omega$ heißt regulärer Randpunkt, falls für alle $h \in C(\partial\Omega)$ und die zugehörige Perron-Lsg zu gilt

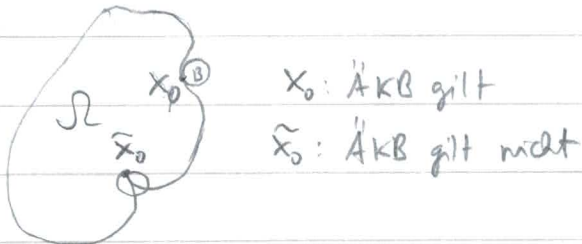
$$\lim_{\substack{x \rightarrow x_0 \\ x \in \Omega}} u(x) = h(x_0).$$

$\partial\Omega$ heißt regulär, falls jeder $x_0 \in \partial\Omega$ reg. Randpunkt.

Df: (äußere Kugelbedingung)

Sei $\Omega \subset \mathbb{R}^n$ offen. Ω erfüllt in $x_0 \in \partial\Omega$ die äußere Kugelbedingung (ÄKB), falls ein offener Kugel B existiert mit

$$B \subset \Omega \setminus \bar{\Omega}, \quad \bar{B} \cap \bar{\Omega} = \{x_0\}.$$



Satz 2.31: Falls Ω in $x_0 \in \partial\Omega$ die ÄKB erfüllt, dann ist x_0 ein regulärer Randpunkt.

Bew:: Sei $B := B_r(x_0)$ die Kugel aus der ÄKB in x_0 und sei

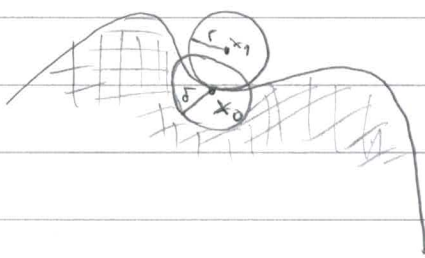
$$g: \begin{cases} \mathbb{R}^n \setminus \{x_1\} \rightarrow \mathbb{R} \\ x \mapsto \Phi(r x_1) - \Phi(x - x_1) \end{cases} \quad \text{mit } x_1 \in \mathbb{R}^n \text{ und } r > 0 \text{ wie oben.}$$

- g harmonisch in $\mathbb{R}^n \setminus \{x_1\}$ (also auch in \mathbb{R})
- $g > 0$ in $\bar{\Omega} \setminus \{x_0\}$
- $g(x_0) = 0$

g ist so genannte „Barrierefunktion“

Für $\varepsilon > 0$ wähle $\delta > 0$ s.d. $|h(x) - h(x_0)| \leq \varepsilon$, falls $x \in \partial\Omega$, $|x - x_0| < \delta$.

Für $x \in \bar{\Omega}$, $|x - x_0| \geq \delta$ ist $g(x) \geq \beta$ für ein $\beta > 0$
 $\left(\begin{array}{l} \text{da } |x - x_1| > M > \delta \\ \text{und } \Phi(x) \neq 0 \text{ für } x \neq x_1 \end{array} \right)$



Squeezing von h :

- Für $A > 0$ sei

$$w(x) := h(x_0) + \varepsilon + Ag(x), \quad x \in \bar{\Omega}$$

$$v(x) := h(x_0) - \varepsilon - Ag(x), \quad x \in \bar{\Omega}$$

Z.B.: $w \in W$, $v \in V$ (dann $\varepsilon \rightarrow 0$)

1) $v, w \in C(\bar{\Omega})$ sind harmonisch in Ω

2) wähle $A > 0$ so groß, dass $Ag(x) \geq 2\|h\|_\infty \quad \forall x \in \bar{\Omega}: |x - x_0| \geq \delta$

z.B. $A \geq \frac{2\|h\|_\infty}{\beta}$

Beh: Dann $w(x) \geq h(x) \quad \forall x \in \partial\Omega$

$v(x) \leq h(x) \quad \forall x \in \partial\Omega$

Bew: a) $x \in \partial\Omega$, $|x - x_0| \geq \delta$

$$\Rightarrow w(x) \geq h(x_0) + \varepsilon + 2\|h\|_\infty \geq \|h\|_\infty + \varepsilon \geq h(x) + \varepsilon$$

b) $x \in \partial\Omega$, $|x - x_0| < \delta$

$$\Rightarrow w(x) = \underbrace{h(x_0) + \varepsilon}_{\geq h(x)} + \underbrace{Ag(x)}_{\geq 0} \geq h(x)$$

Für v analog

Also $w \in W(\Omega, h)$, $v \in U(\Omega, h)$.

\Rightarrow die Perron-Lsg erfüllt

$$v(x) \leq u(x) \leq w(x) \quad \forall x \in \bar{\Omega}$$

$$\Rightarrow -\varepsilon - Ag(x) \leq u(x) - h(x_0) \leq \varepsilon + Ag(x)$$

$$\Leftrightarrow |u(x) - h(x_0)| \leq \varepsilon + Ag(x)$$

$$\limsup_{\substack{x \rightarrow x_0 \\ x \in \Omega}} |u(x) - h(x_0)| \leq \varepsilon + A \limsup_{\substack{x \rightarrow x_0 \\ x \in \Omega}} g(x) = \varepsilon$$

$$= \lim_{g \text{ stetig}} g(x) = 0$$

ε beliebig

$$\Rightarrow \lim_{\substack{x \rightarrow x_0 \\ x \in \Omega}} |u(x) - h(x_0)| = 0$$

Bem: Es reicht auch die äußere Kegelbedingung. (ohne Beweis)

Korollar 2.32: Sei $\Omega \subset \mathbb{R}^n$ beschr. Gebiet, $\partial\Omega$ regulär und $h \in C(\partial\Omega)$.

Dann ist die Perron-Lsg die eindeutige kl. Lsg von
 $-\Delta u = 0$ in Ω , nach auf $\partial\Omega$,

2.5. Poisson-Gleichung mit Dirichlet RB

(Wrap-up)

Betrachte

$$\begin{cases} -\Delta u = f & \text{in } \Omega \subset \mathbb{R}^n \text{ offen} \\ u = h & \text{auf } \partial\Omega \end{cases} \quad \text{(PD)}$$

Bisher wurde geklärt:

1) Eindeutige Existenz Mass. Lsgen für $f=0$, falls $h \in C(\partial\Omega)$, Ω beschr.

Gebiet und $\partial\Omega$ regulär. (Kor. 2.32)

2) Existenz kl. Lsgen von

$$-\Delta u = f \quad \text{in } \Omega$$

für $f \in C_c^1(\mathbb{R}^n)$.

Nömlch: $u(x) = \int_{\mathbb{R}^n} \Phi(x-y) f(y) dy$ (cf. Satz 2.5)

Satz 2.33 Sei $\Omega \subset \mathbb{R}^n$ beschr. Gebiet, $\partial\Omega$ regulär,
 $f \in C_c^2(\Omega)$ und $h \in C(\partial\Omega)$. Dann gibt es eine eindeutige Lsg.
Lsg von (PD).

Bew: 1) $v(x) := \int_{\mathbb{R}^n} \Phi(x-y) f(y) dy$ erfüllt $-\Delta v(x) = f(x), x \in \Omega, v \in C^\infty(\mathbb{R}^n)$
aber nicht die Randbedingung.

2) Sei w die Perron-Lsg von $-\Delta w(x) = 0, x \in \Omega$
 $w(x) = h(x) - v(x), x \in \partial\Omega$
 $\Rightarrow w \in C^2(\Omega) \cap C(\bar{\Omega})$

Insgesamt $u := v+w$ erfüllt $u \in C^2(\Omega) \cap C(\bar{\Omega})$ und (PD), da
 $u(x) = v(x) + h(x) - v(x) = h(x), x \in \partial\Omega$

Eindeutigkeit: Satz 2.17. ■

Allgemeineres f :

Lemma 2.34 Sei $\Omega \subset \mathbb{R}^n$ beschr. Gebiet und $f: \Omega \rightarrow \mathbb{R}$.

(i) Falls $f \in L^\infty(\Omega)$, dann gilt für $N_f(x) := \int_{\Omega} \Phi(x-y) f(y) dy$
 $N_f \in C^1(\mathbb{R}^n)$.

(ii) Falls f Hölder-stetig (mit Index $\alpha \in (0, 1]$) auf Ω , dann
 $N_f \in C^2(\Omega)$ und $-\Delta(N_f) = f$ in Ω .

Bew: [Gilbarg, Trudinger, Elliptic PDEs of 2nd order, Lemma 4.1 & 4.2]

Df: (Hölder-Stetigkeit)

Sei $\Omega \subset \mathbb{R}^n$ offen und $\lambda \in (0, 1]$. Die Funktion $\varphi: \Omega \rightarrow \mathbb{R}$ heißt Hölder-stetig

zum Exponenten λ auf \mathcal{D} , falls

$$\sup_{\substack{x, y \in \mathcal{D} \\ x \neq y}} \frac{\varphi(x) - \varphi(y)}{|x-y|^\lambda} < \infty.$$

Satz 2.35

Satz 2.33 gilt auch mit $f: \mathcal{D} \rightarrow \mathbb{R}$ Hölder-stetig auf \mathcal{D} .

Bew: wie bei S. 2.33, nur $v := N_f$ ■

3. Wärmeleitungsgleichung

Ziel: Für $\mathcal{D} \subset \mathbb{R}^n$ offen löse

$$\partial_t u(x,t) - \Delta u(x,t) = f(x,t), \quad (x,t) \in \mathcal{D} \times (0,\infty) \quad (1)$$

eventuell zusammen mit

$$\text{Anfangsbedingung (AB): } u(x,0) = u_0(x), \quad x \in \mathcal{D} \quad (2)$$

$$\text{Randbeding. (RB): z.B. } u(x,t) = h(x,t), \quad (x,t) \in \partial\mathcal{D} \times (0,\infty) \quad (3)$$

(Dirichlet-RB)

(1) & (2) heißt Anfangswertproblem (Cauchy-Problem)

(1), (2), (3): Anfangsrandwertproblem

3.1. Fundamentalslösung

Betrachte

$$\partial_t u(x,t) - \Delta u(x,t) = 0, \quad (x,t) \in \mathbb{R}^n \times (0,\infty) \quad (4)$$

Lemma 3.1 (Symmetrien von (4))

Für jede Lsg $u: \mathbb{R}^n \times (0,\infty) \rightarrow \mathbb{R}$ von (4) ist auch

$$u_{\lambda,y}(x,t) := y u(\sqrt{\lambda} x, \lambda t)$$

eine Lsg für beliebige $\lambda > 0, y \in \mathbb{R}$.

$$\text{Bew: } \partial_t u_{\lambda,y}(x,t) = \lambda y (\partial_t u)(\sqrt{\lambda} x, \lambda t)$$

$$\partial_{x_i}^2 u_{\lambda,y}(x,t) = \lambda y (\partial_{x_i}^2 u)(\sqrt{\lambda} x, \lambda t)$$